

Zufällige diskrete Strukturen

Ralph Neininger

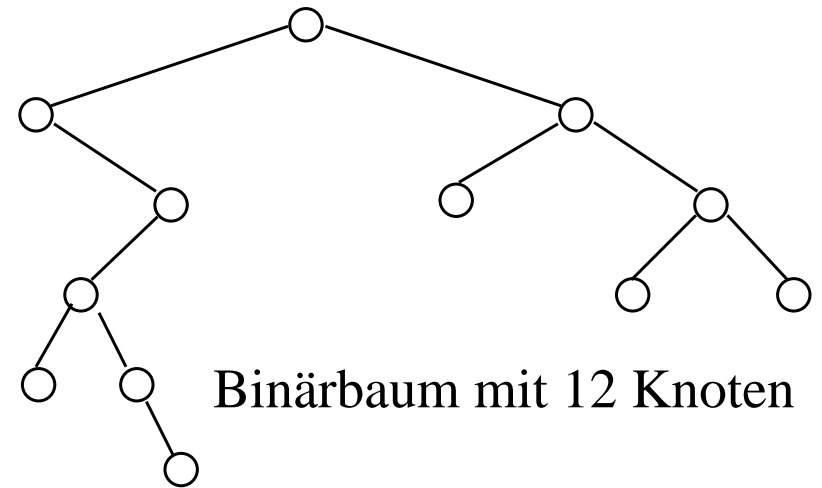
Institut für Mathematik

J. W. Goethe-Universität Frankfurt a.M.

3. Alumni Treffen des Instituts für Mathematik

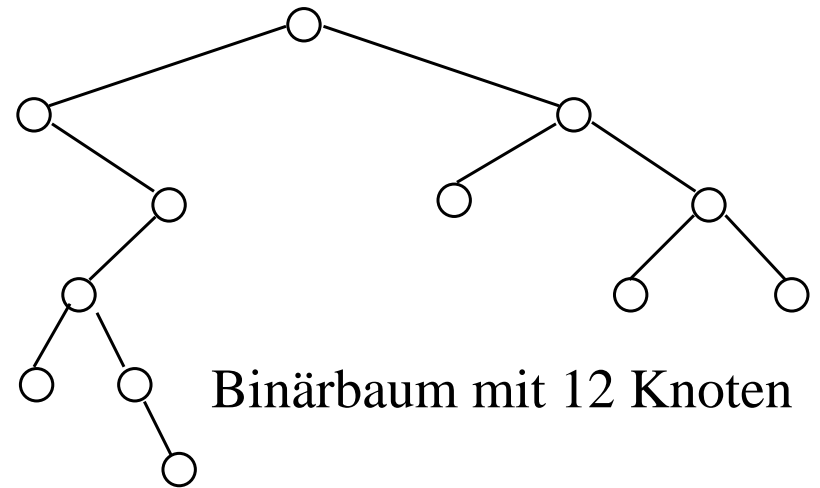
27. November 2010

Binäre Bäume



Binäre Bäume

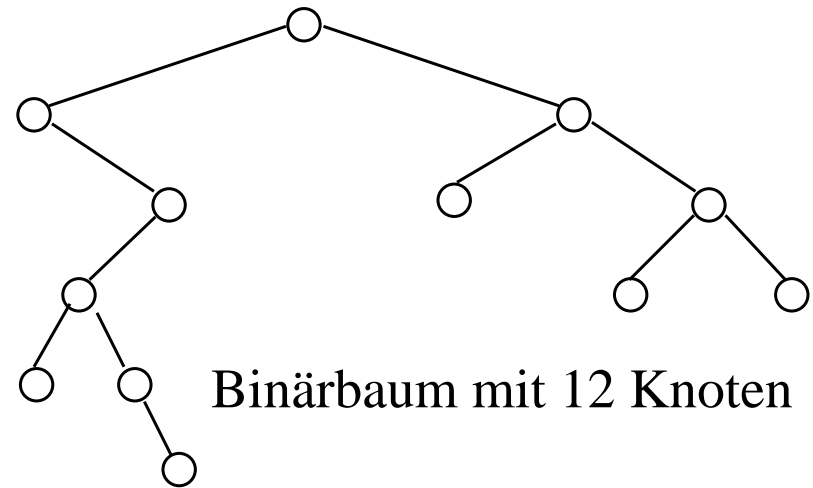
Stochastische Modelle:



Binäre Bäume

Stochastische Modelle:

— Catalan-Modell

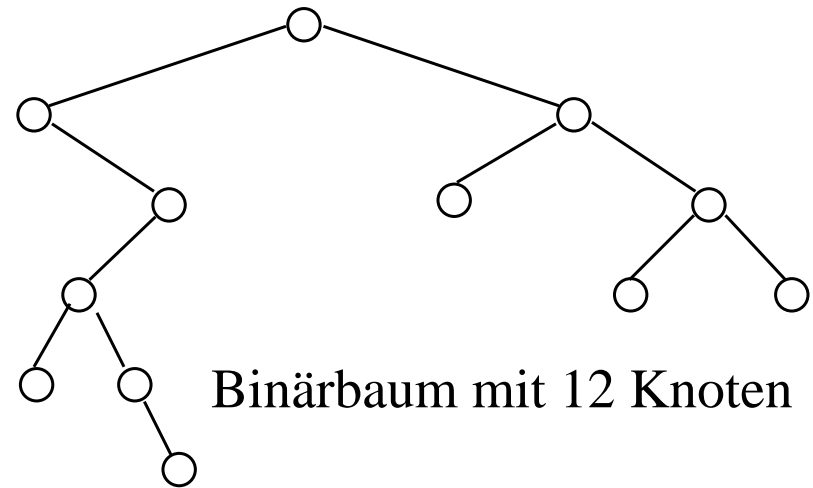


Binäre Bäume

Stochastische Modelle:

— Catalan-Modell

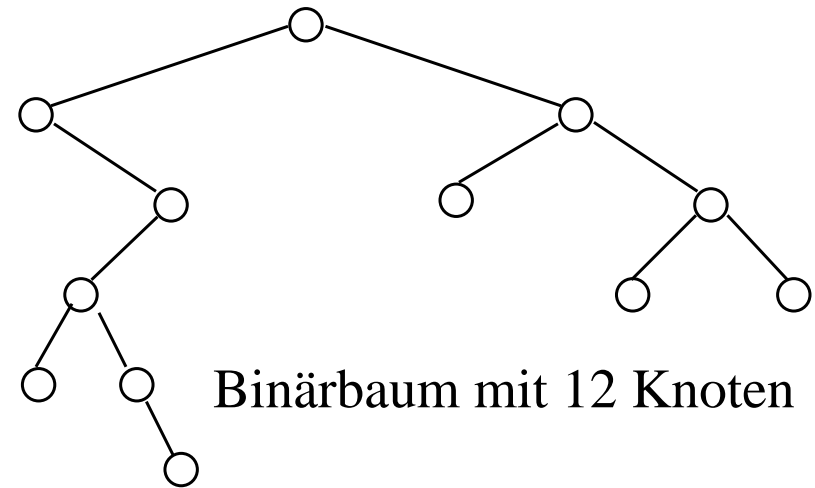
— Permutationsmodell
(Zufälliger Binärsuchbaum)



Binäre Bäume

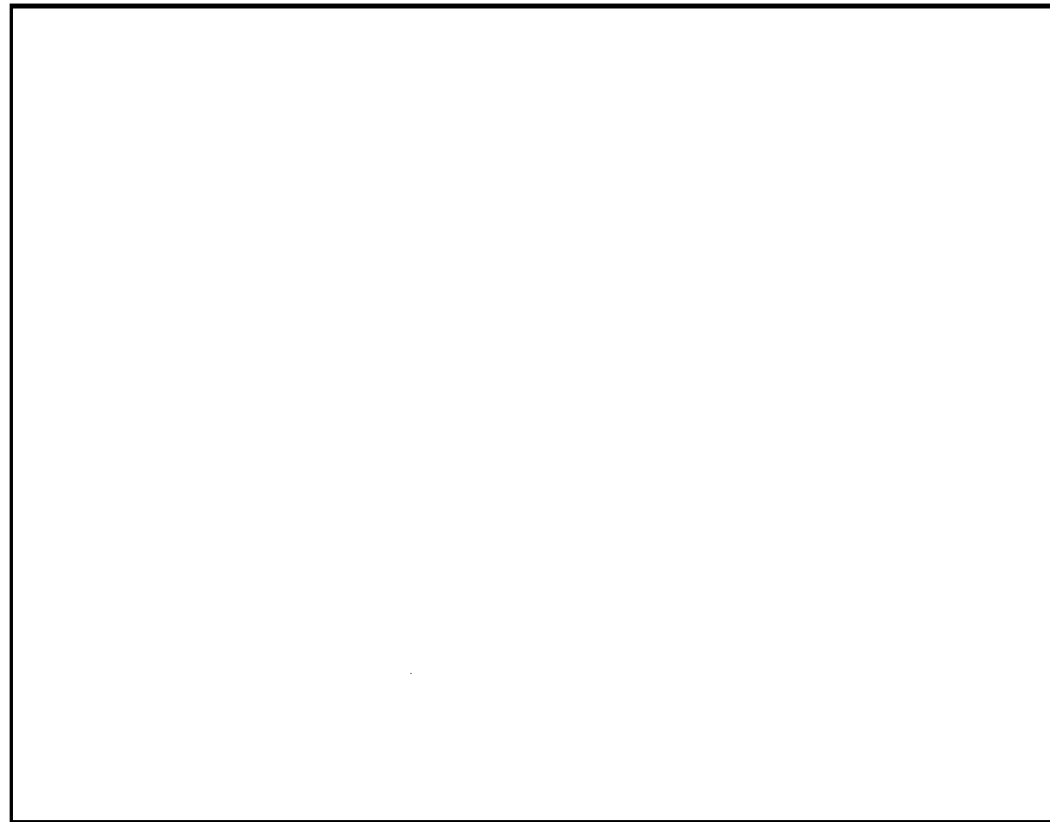
Stochastische Modelle:

- Catalan-Modell
- Permutationsmodell
(Zufälliger Binärsuchbaum)
- Zufälliger Suffixsuchbaum



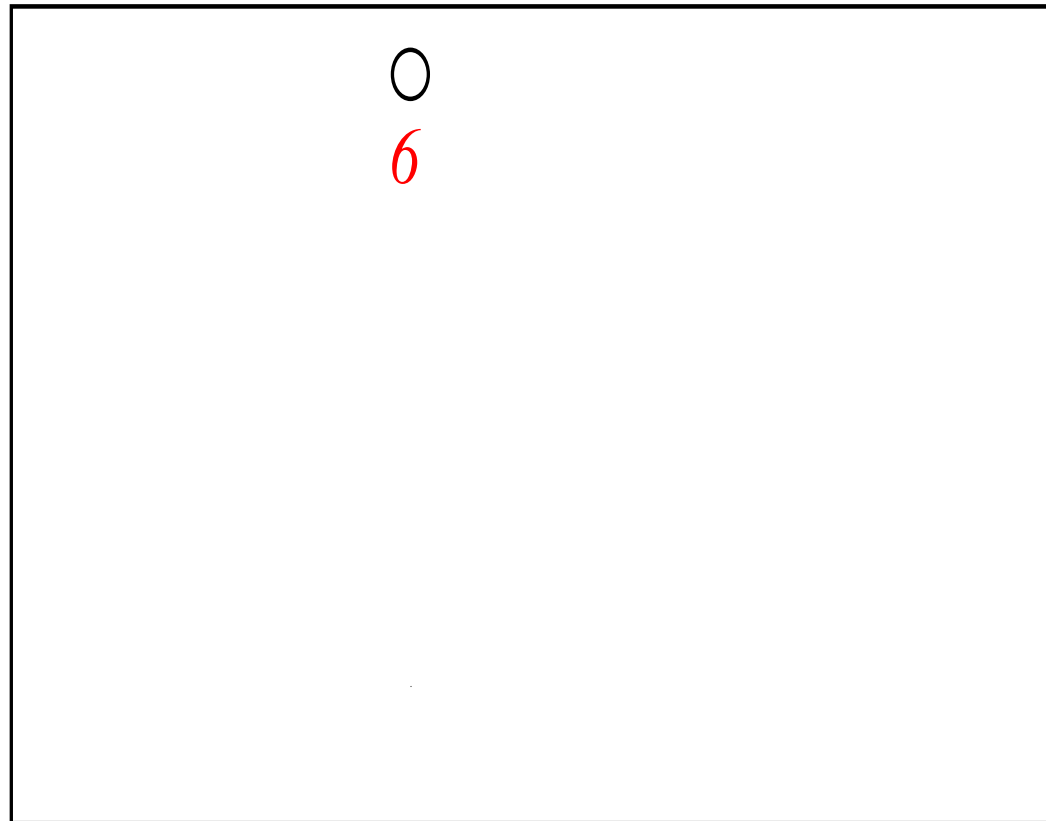
Binärsuchbaum

Liste der Daten: 6, 1, 8, 7, 5, 3, 10, 2, 11, 4, 9.



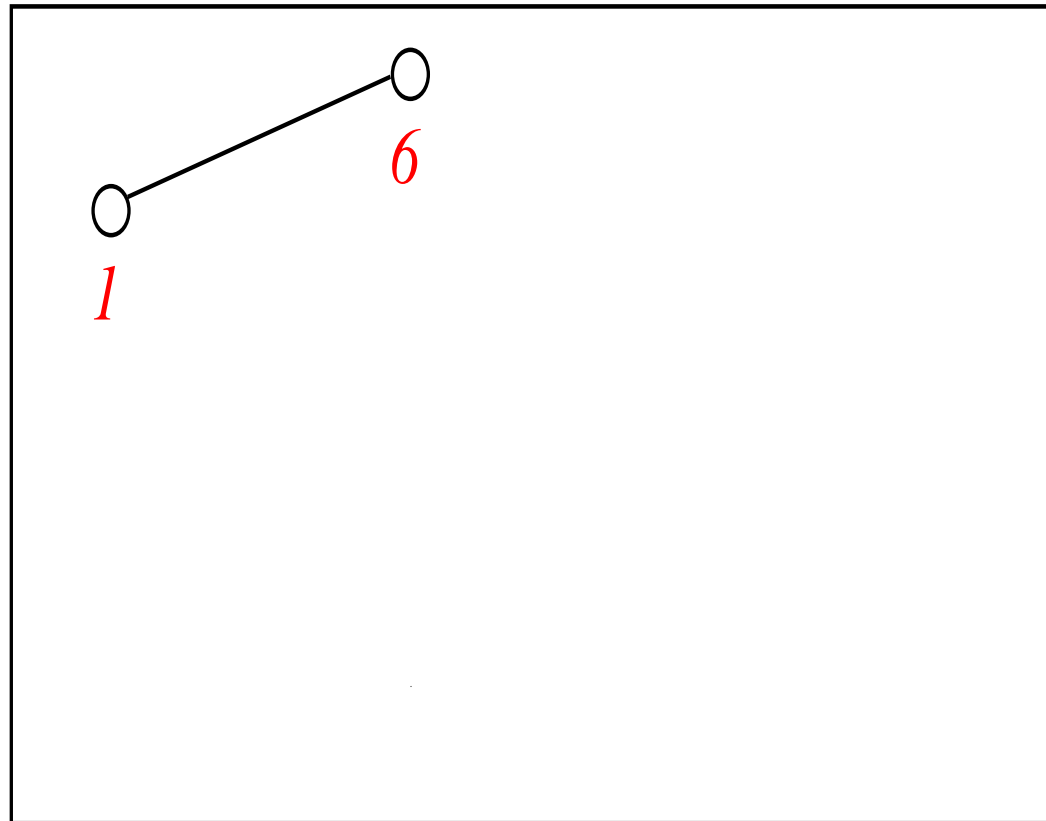
Binärsuchbaum

Liste der Daten: 6, 1, 8, 7, 5, 3, 10, 2, 11, 4, 9.



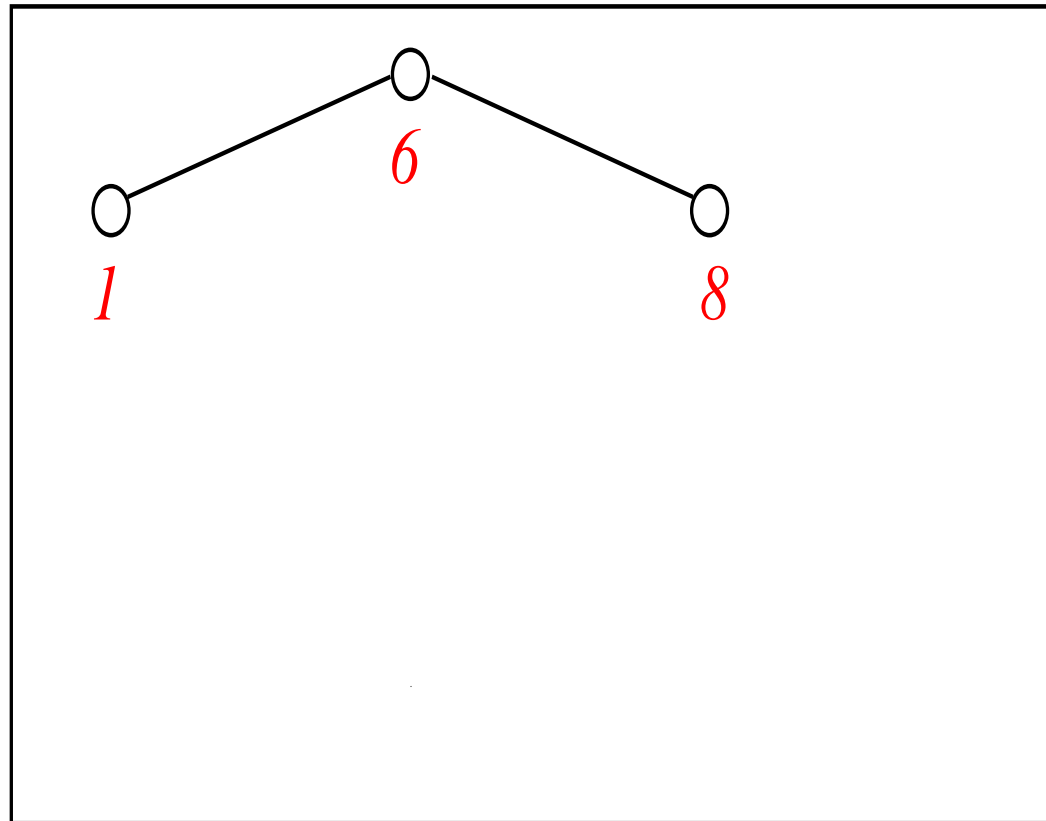
Binärsuchbaum

Liste der Daten: 6, 1, 8, 7, 5, 3, 10, 2, 11, 4, 9.



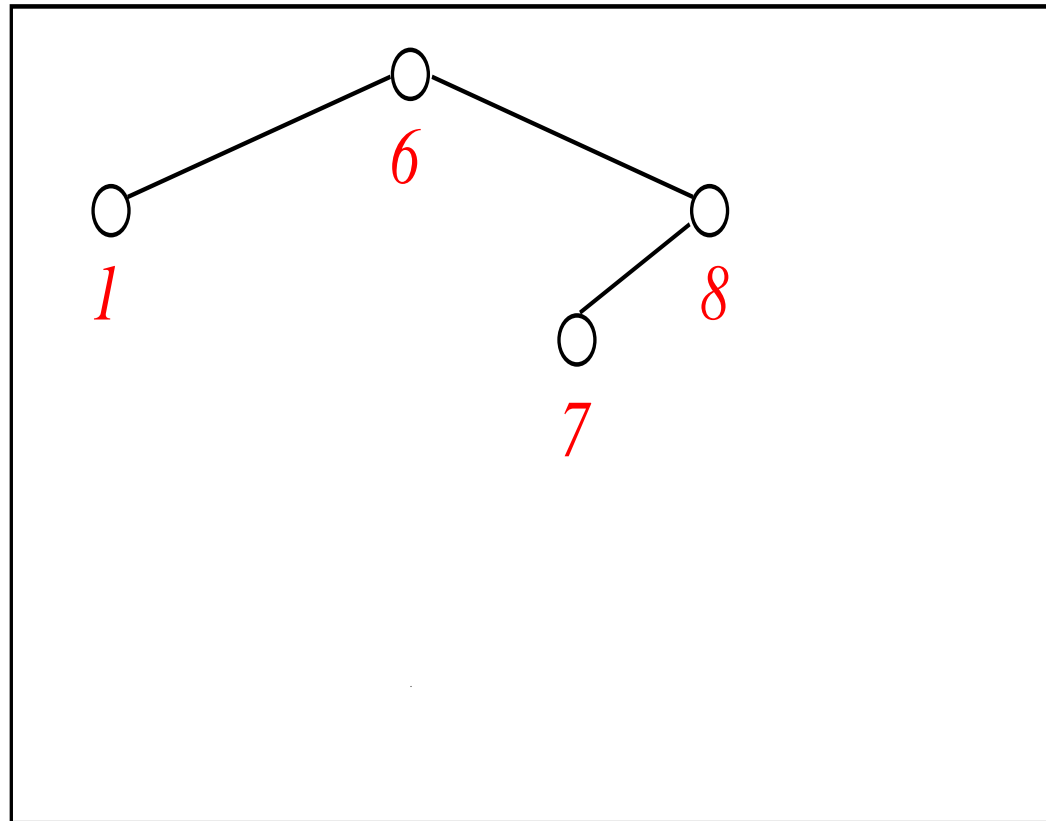
Binärsuchbaum

Liste der Daten: 6, 1, 8, 7, 5, 3, 10, 2, 11, 4, 9.



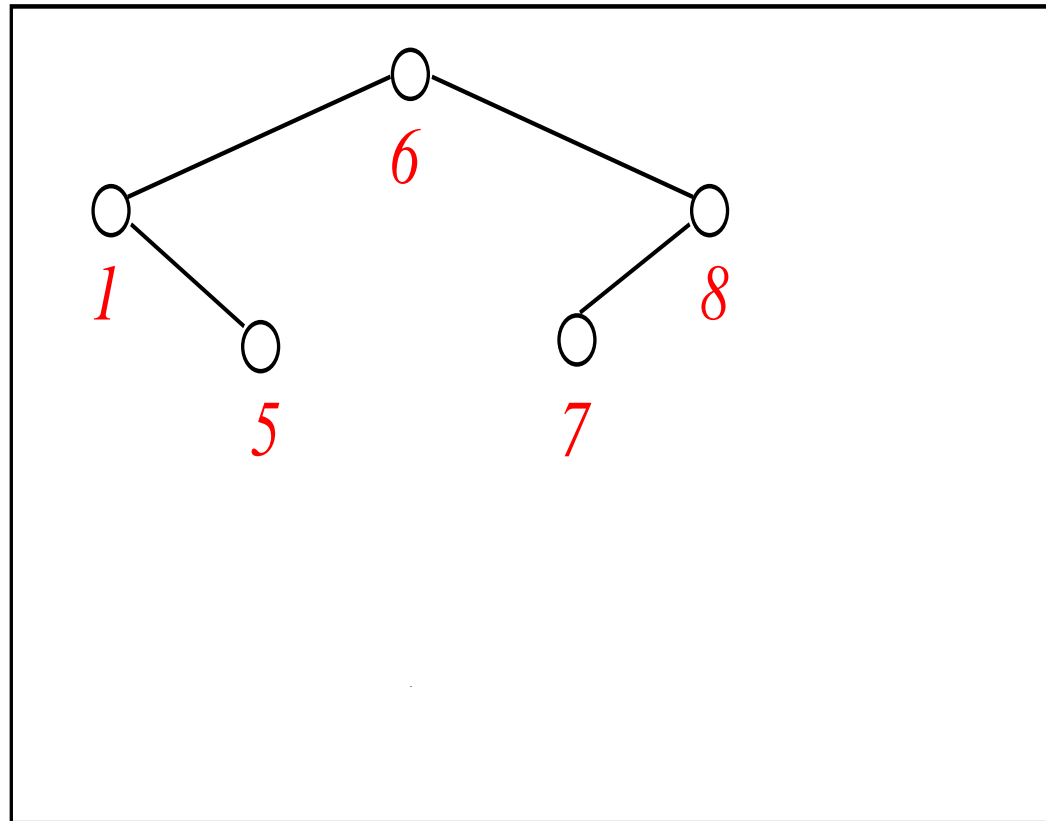
Binärsuchbaum

Liste der Daten: 6, 1, 8, 7, 5, 3, 10, 2, 11, 4, 9.



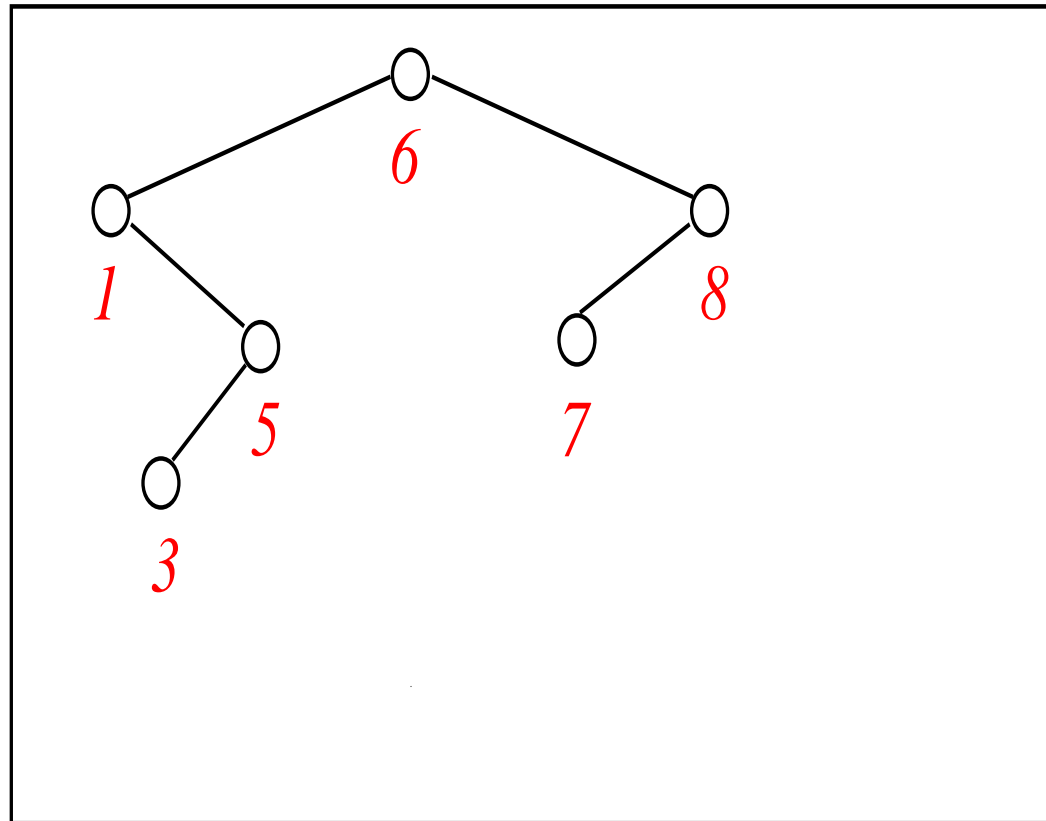
Binärsuchbaum

Liste der Daten: 6, 1, 8, 7, 5, 3, 10, 2, 11, 4, 9.



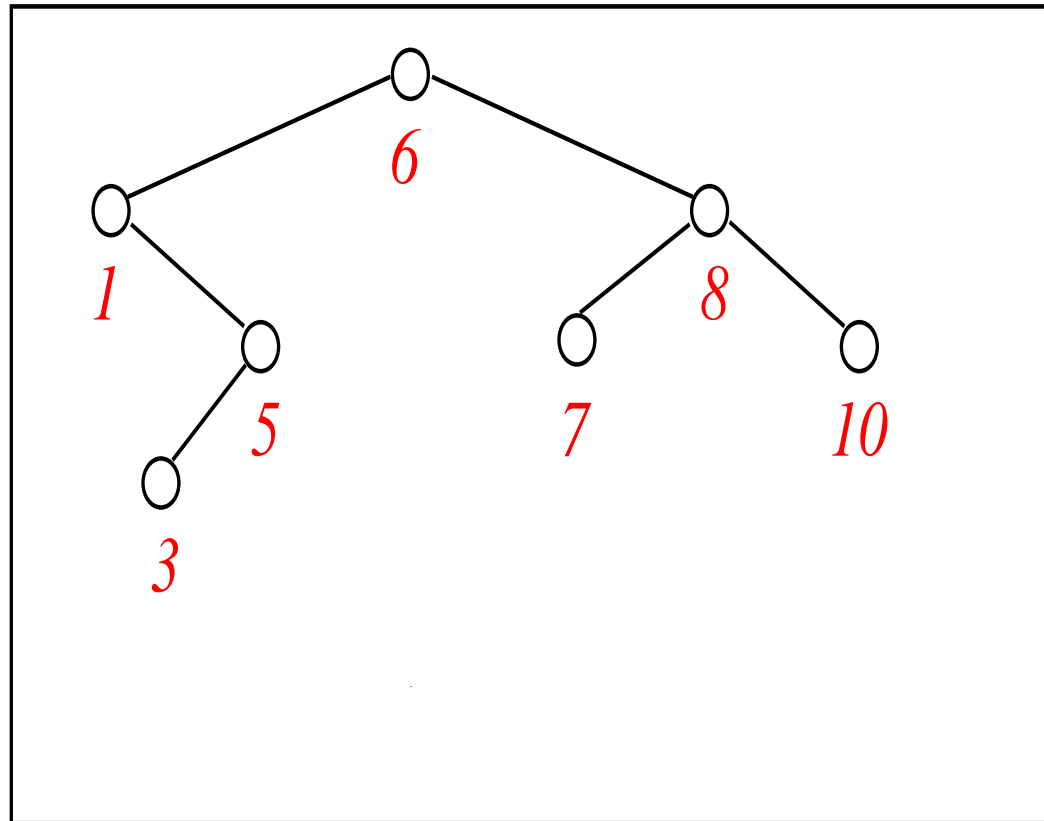
Binärsuchbaum

Liste der Daten: 6, 1, 8, 7, 5, 3, 10, 2, 11, 4, 9.



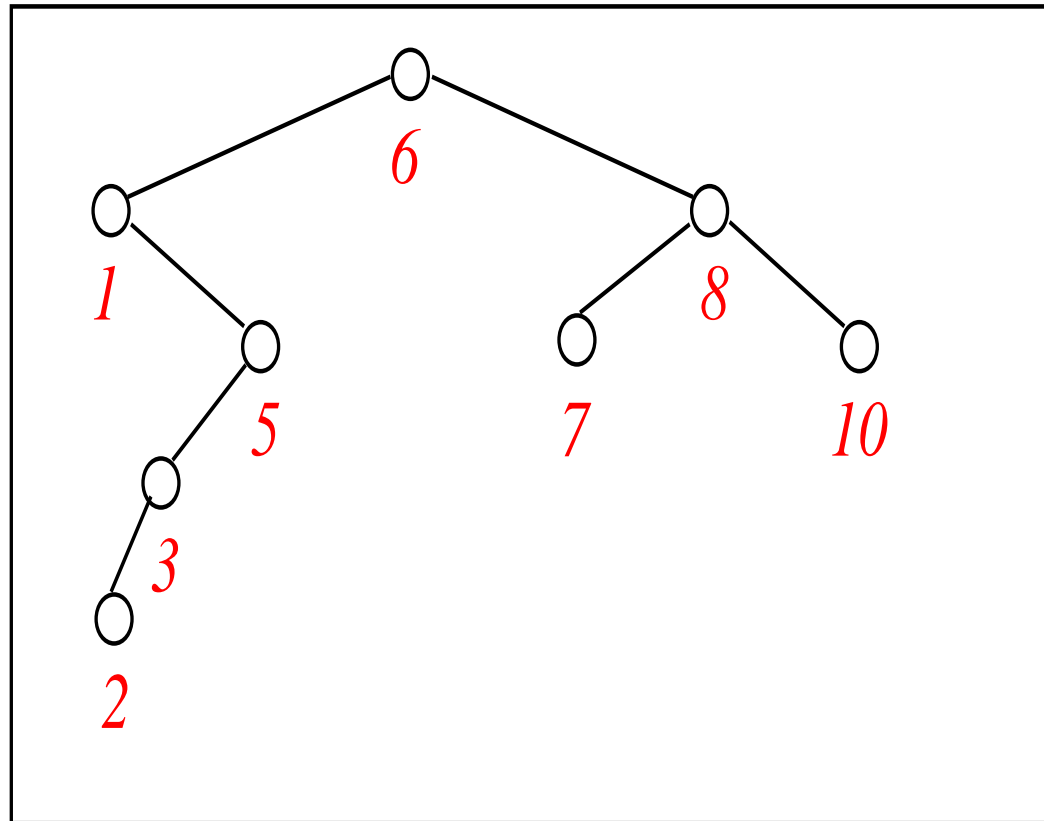
Binärsuchbaum

Liste der Daten: 6, 1, 8, 7, 5, 3, 10, 2, 11, 4, 9.



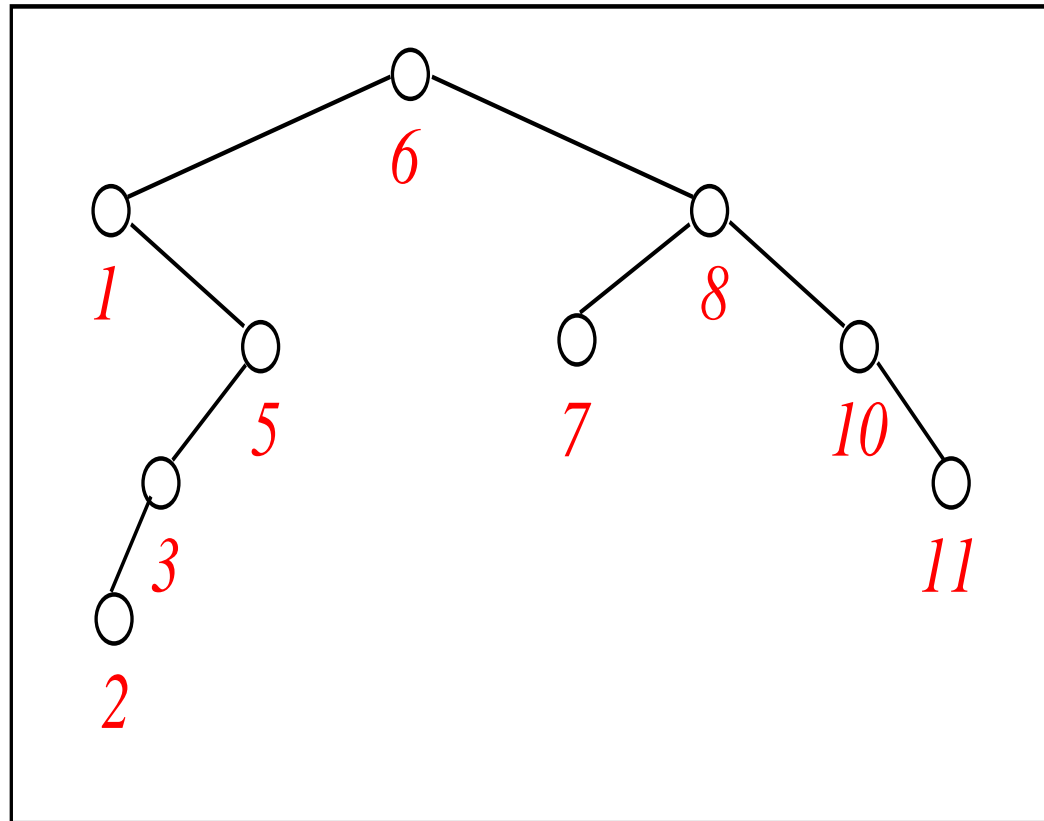
Binärsuchbaum

Liste der Daten: 6, 1, 8, 7, 5, 3, 10, 2, 11, 4, 9.



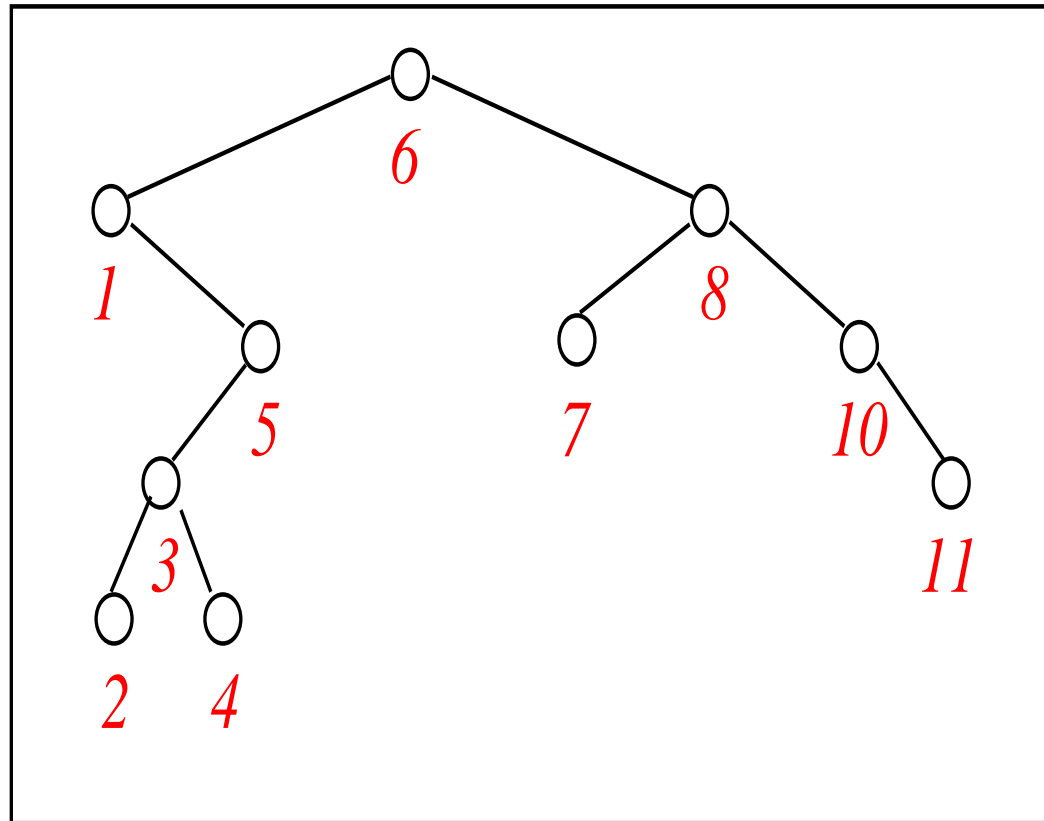
Binärsuchbaum

Liste der Daten: 6, 1, 8, 7, 5, 3, 10, 2, 11, 4, 9.



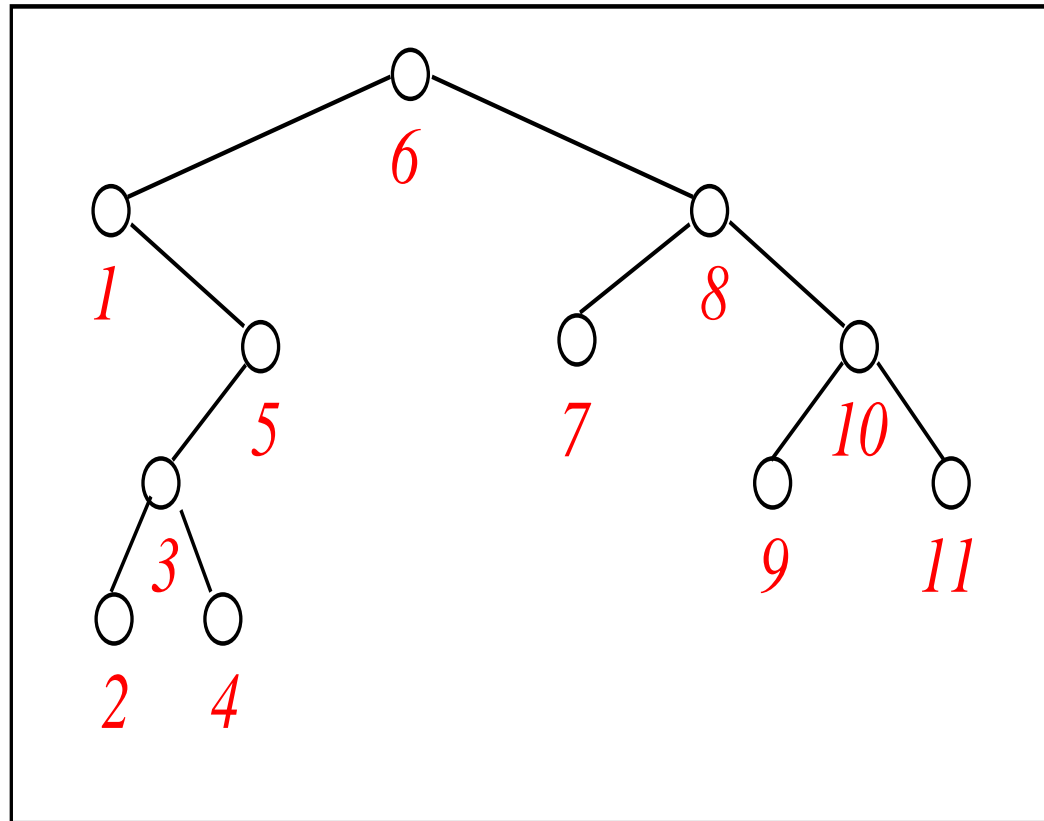
Binärsuchbaum

Liste der Daten: 6, 1, 8, 7, 5, 3, 10, 2, 11, 4, 9.

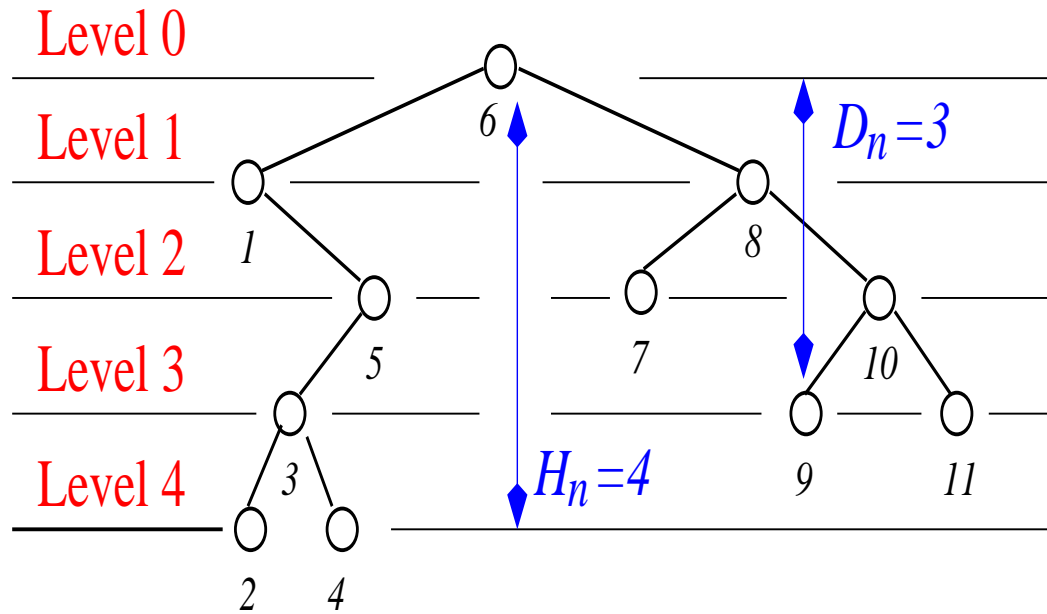


Binärsuchbaum

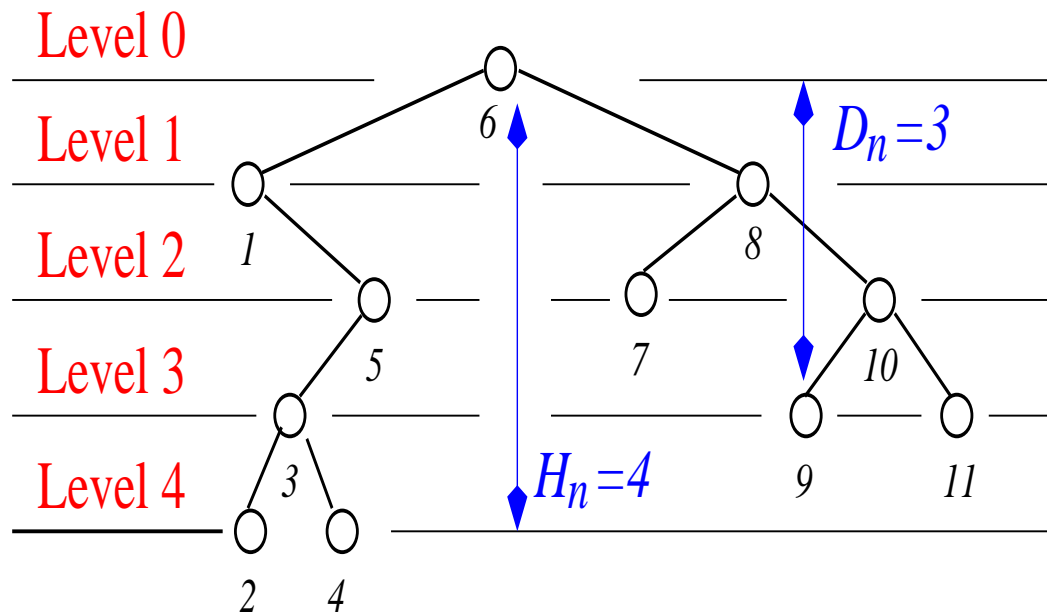
Liste der Daten: 6, 1, 8, 7, 5, 3, 10, 2, 11, 4, 9.



Größen im BSB



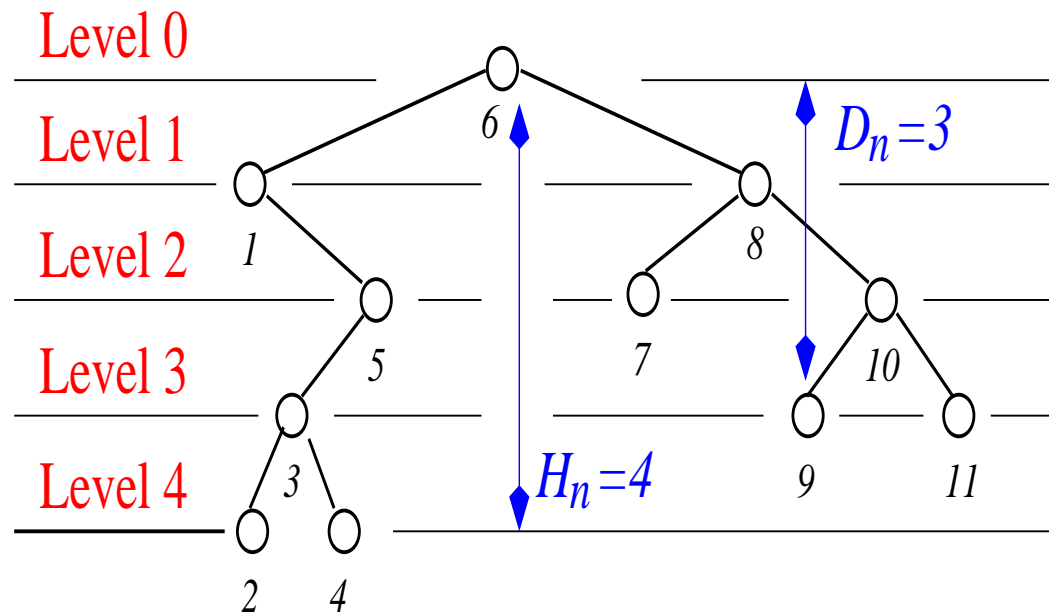
Größen im BSB



D_n — Tiefe des n -ten Knotens

= Abstand zwischen Wurzel und n -tem eingefügten Knoten

Größen im BSB



D_n — Tiefe des n -ten Knotens

= Abstand zwischen Wurzel und n -tem eingefügten Knoten

$H_n = \max_{1 \leq j \leq n} D_j$ — Höhe des Baumes

Permutationsmodell

Stochastisches Modell:

Alle Permutationen von $1, \dots, n$ gleich wahrscheinlich.

Äquivalent: U_1, \dots, U_n i.i.d. $\text{unif}[0, 1]$.

Simulation

Binäre Bäume

Anzahl binärer Bäume mit n Knoten:

Binäre Bäume

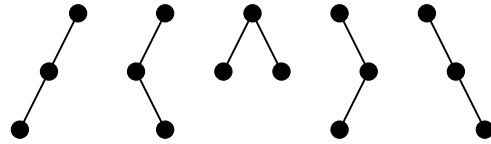
Anzahl binärer Bäume mit n Knoten:

Mit 3 Knoten:

Binäre Bäume

Anzahl binärer Bäume mit n Knoten:

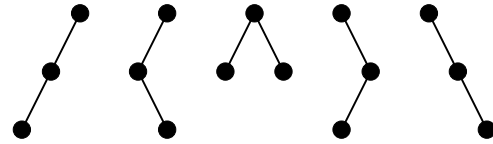
Mit 3 Knoten:



Binäre Bäume

Anzahl binärer Bäume mit n Knoten:

Mit 3 Knoten:

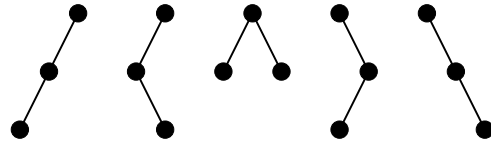


Mit 4 Knoten:

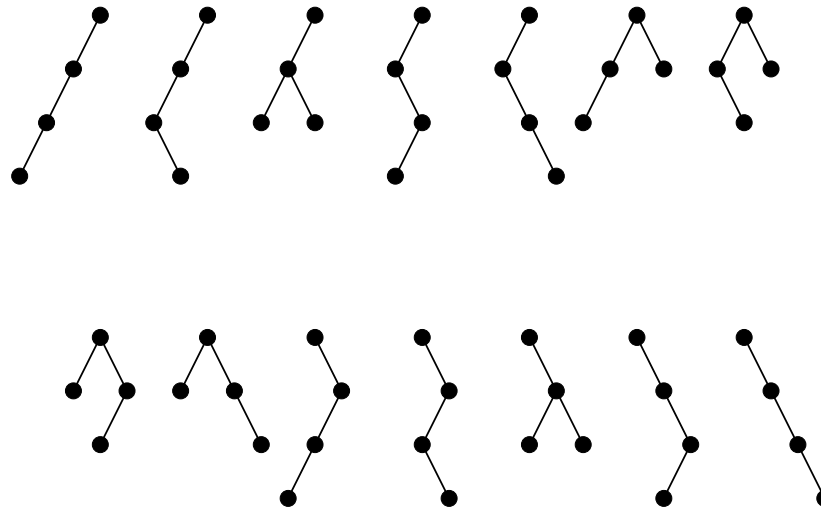
Binäre Bäume

Anzahl binärer Bäume mit n Knoten:

Mit 3 Knoten:



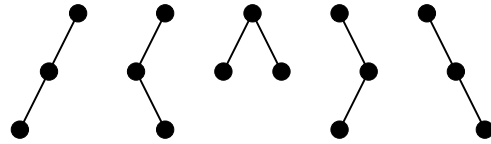
Mit 4 Knoten:



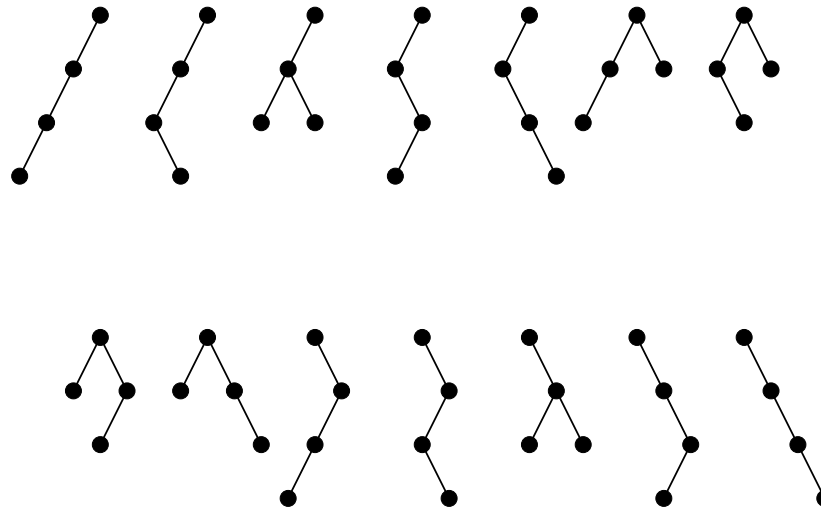
Binäre Bäume

Anzahl binärer Bäume mit n Knoten: $\frac{1}{n+1} \binom{2n}{n}$ (Catalan Zahlen)

Mit 3 Knoten:



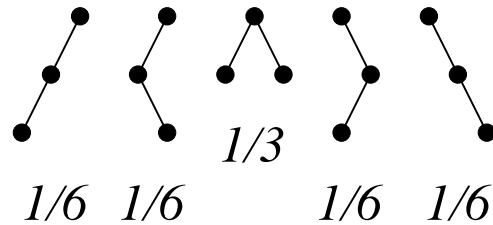
Mit 4 Knoten:



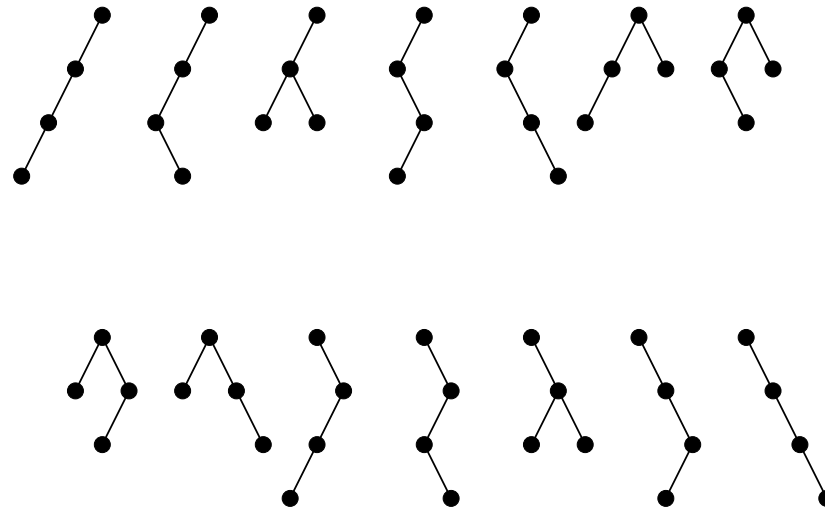
Binäre Bäume

Anzahl binärer Bäume mit n Knoten: $\frac{1}{n+1} \binom{2n}{n}$ (Catalan Zahlen)

Mit 3 Knoten:



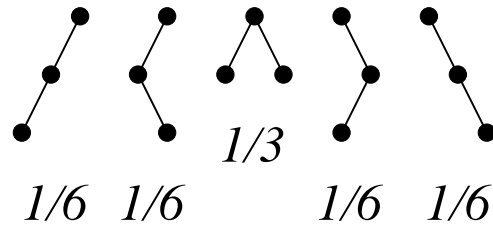
Mit 4 Knoten:



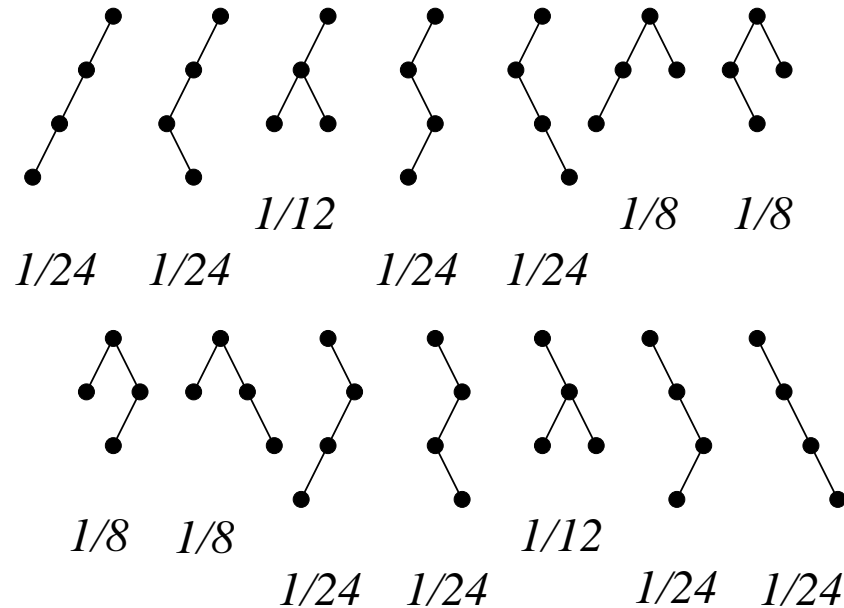
Binäre Bäume

Anzahl binärer Bäume mit n Knoten: $\frac{1}{n+1} \binom{2n}{n}$ (Catalan Zahlen)

Mit 3 Knoten:



Mit 4 Knoten:



Catalan- versus Permutationsmodell

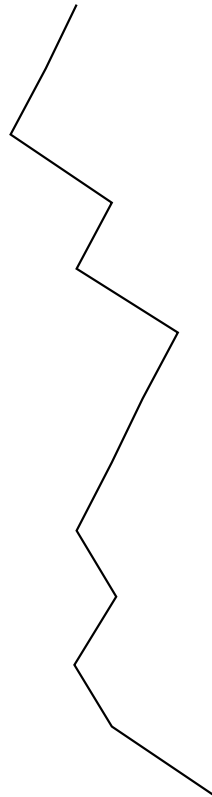
Catalan-Modell

Permutationsmodell

Catalan- versus Permutationsmodell

Catalan-Modell

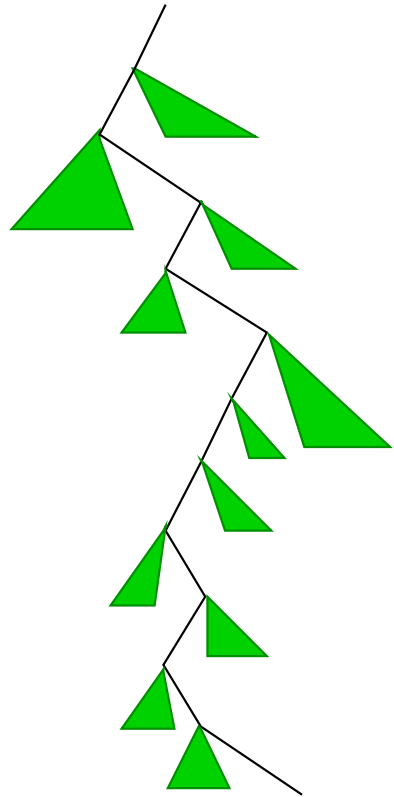
Permutationsmodell



Catalan- versus Permutationsmodell

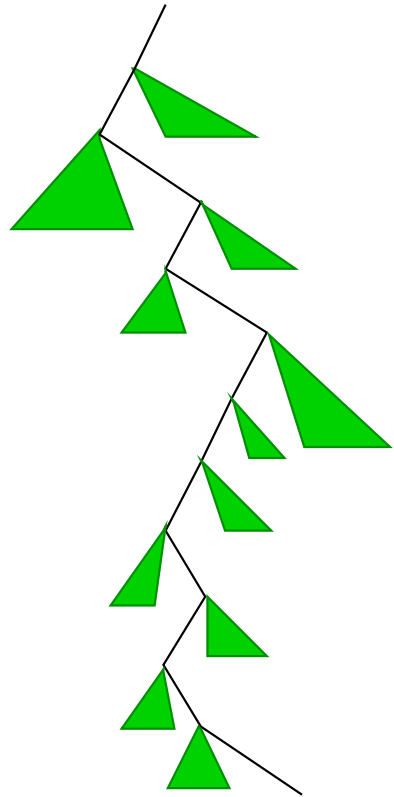
Catalan-Modell

Permutationsmodell

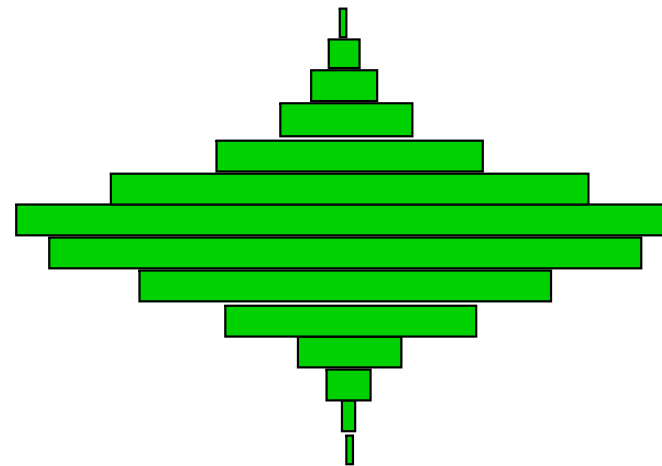


Catalan- versus Permutationsmodell

Catalan-Modell

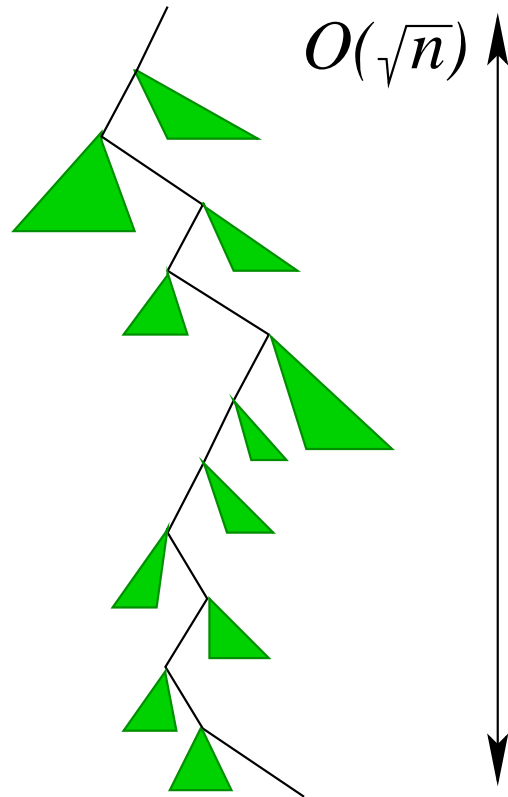


Permutationsmodell

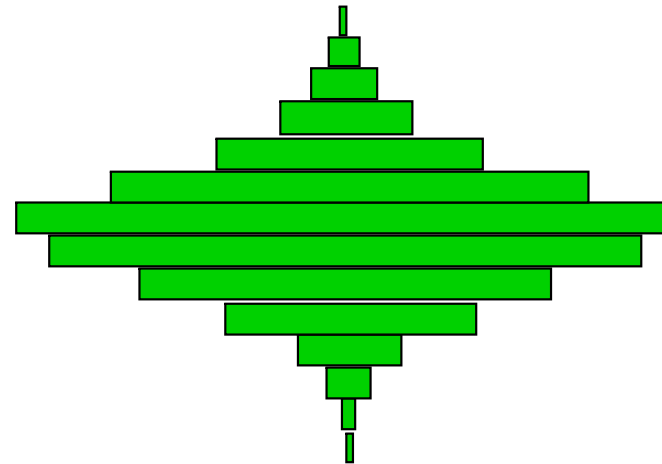


Catalan- versus Permutationsmodell

Catalan-Modell

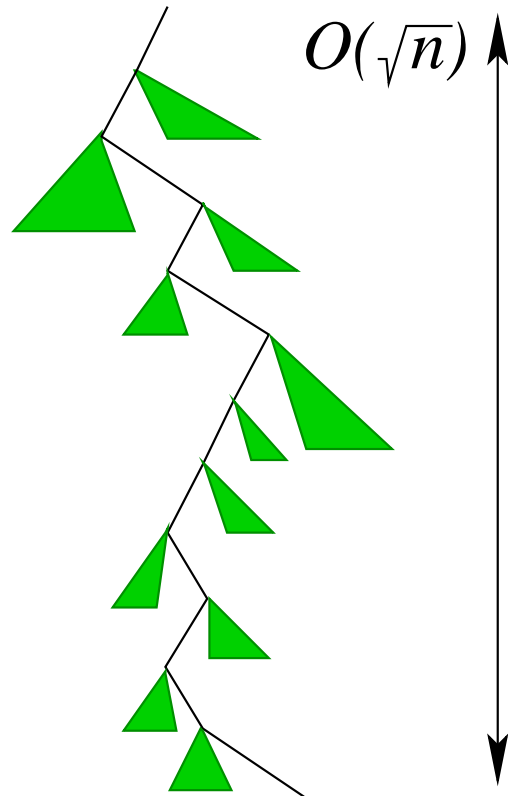


Permutationsmodell

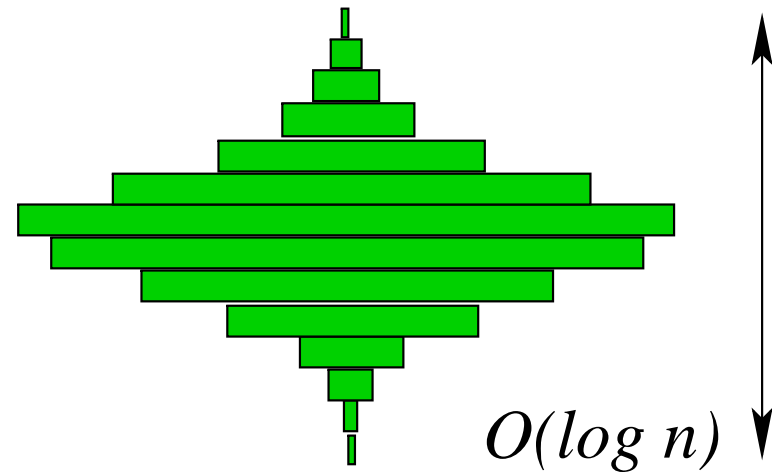


Catalan- versus Permutationsmodell

Catalan-Modell

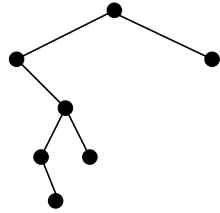


Permutationsmodell

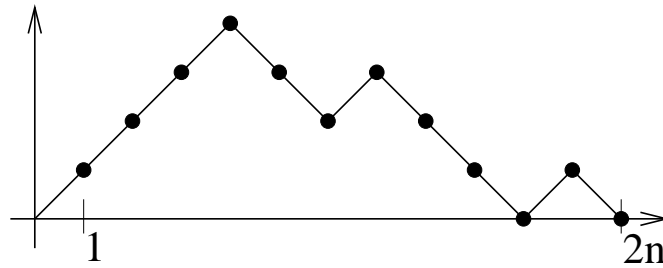
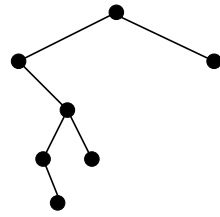


Gestalt im Catalan-Modell

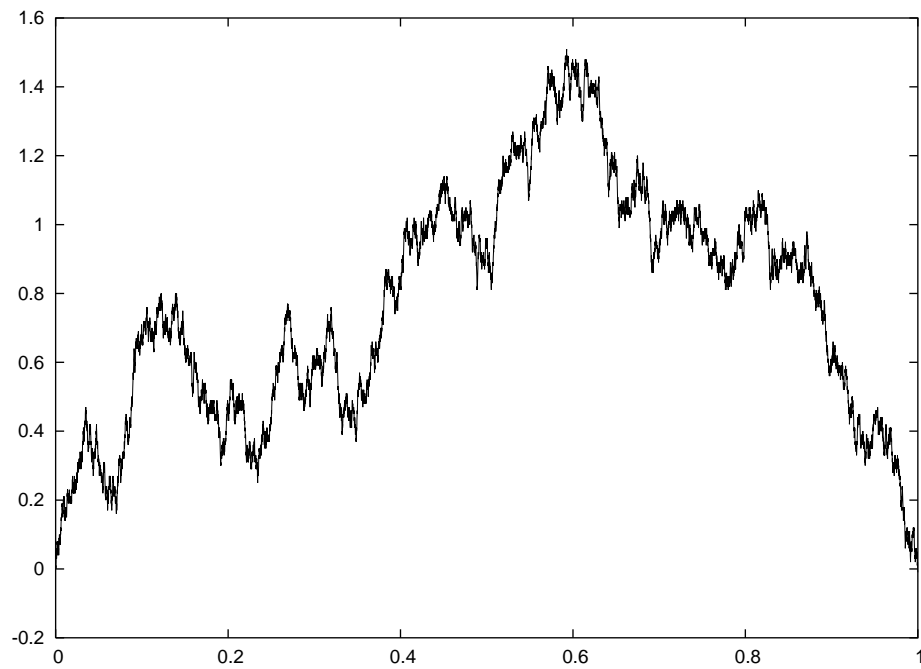
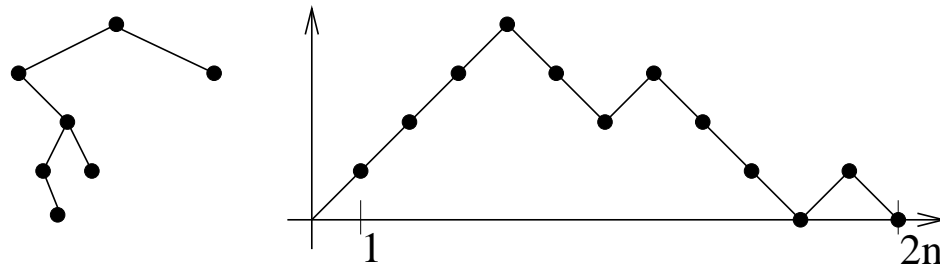
Gestalt im Catalan-Modell



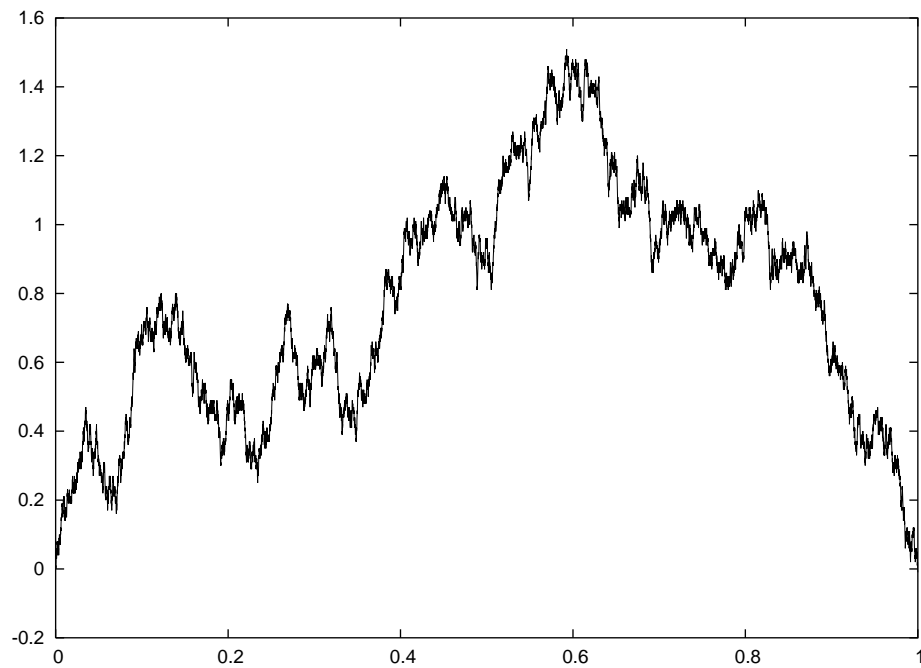
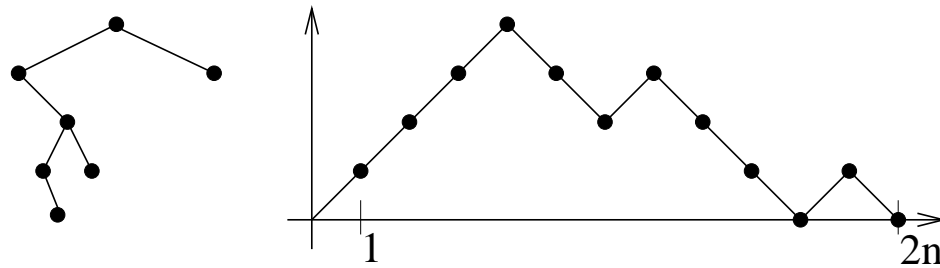
Gestalt im Catalan-Modell



Gestalt im Catalan-Modell



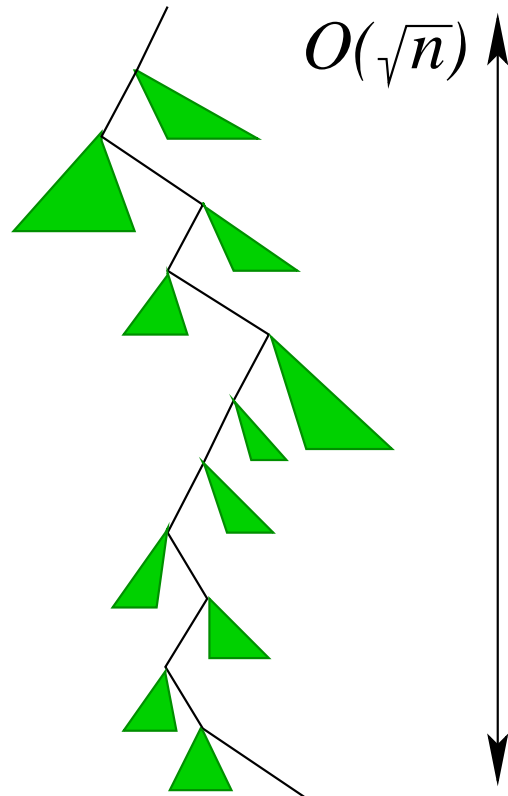
Gestalt im Catalan-Modell



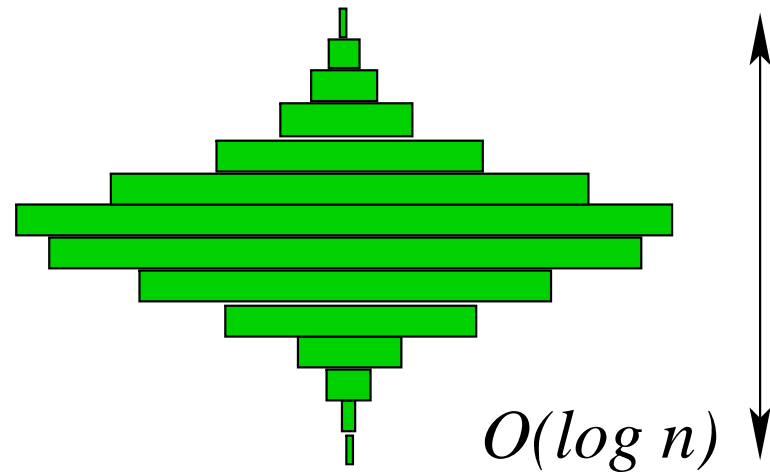
$$\left(\frac{H_n(2nt)}{\sqrt{2n}} \right)_{t \in [0,1]} \xrightarrow{d} (e(t))_{t \in [0,1]} \quad e : \text{Brownsche Exkursion}$$

Catalan- versus Permutationsmodell

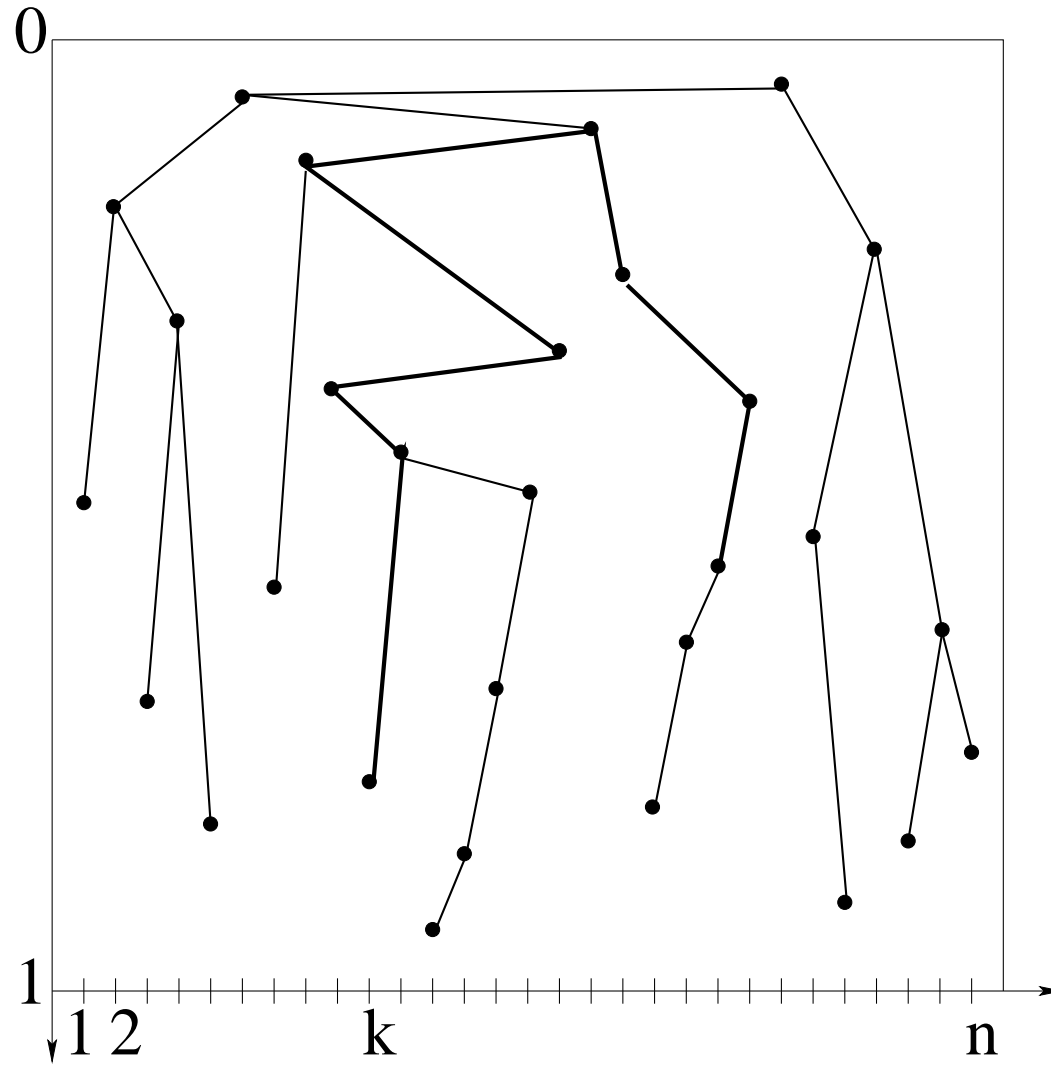
Catalan-Modell



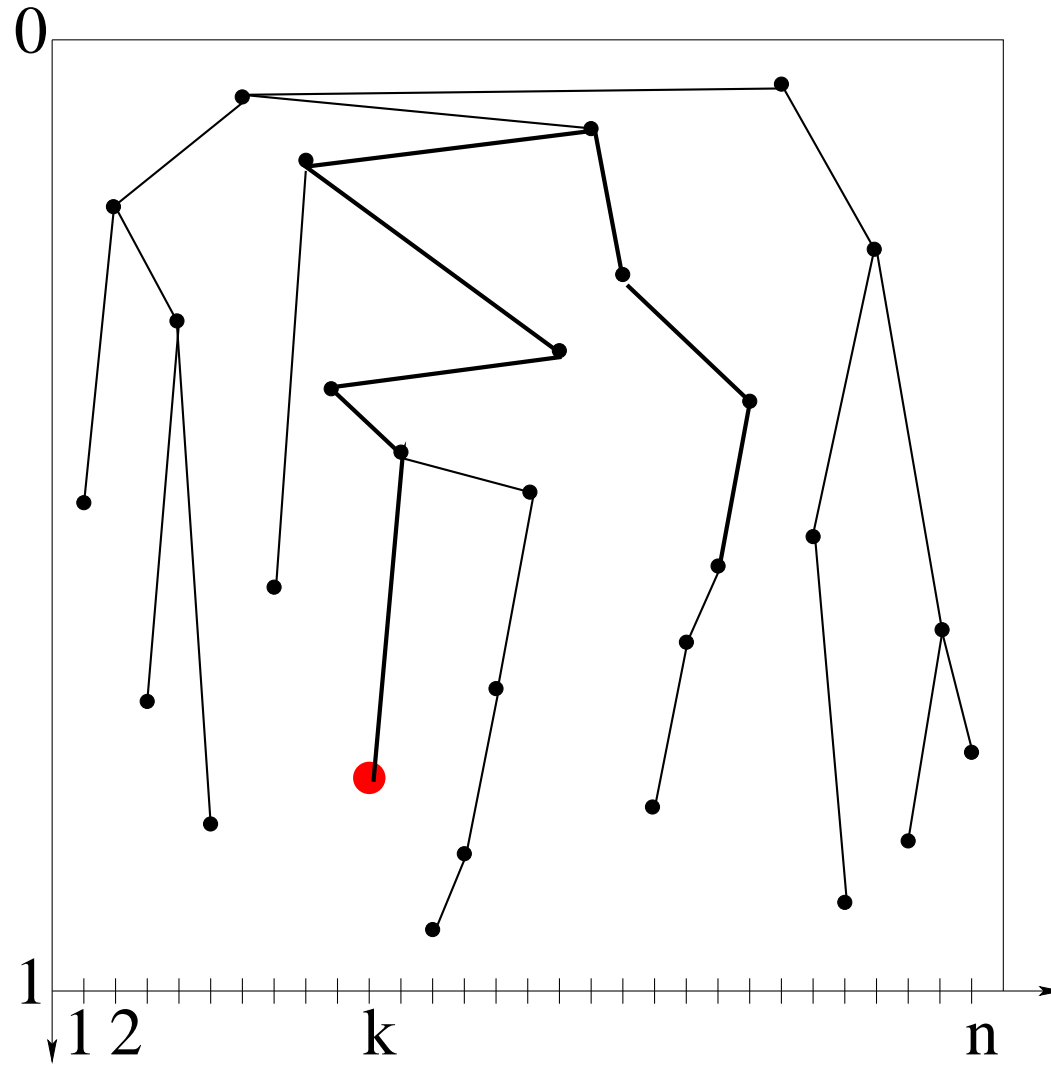
Permutationsmodell



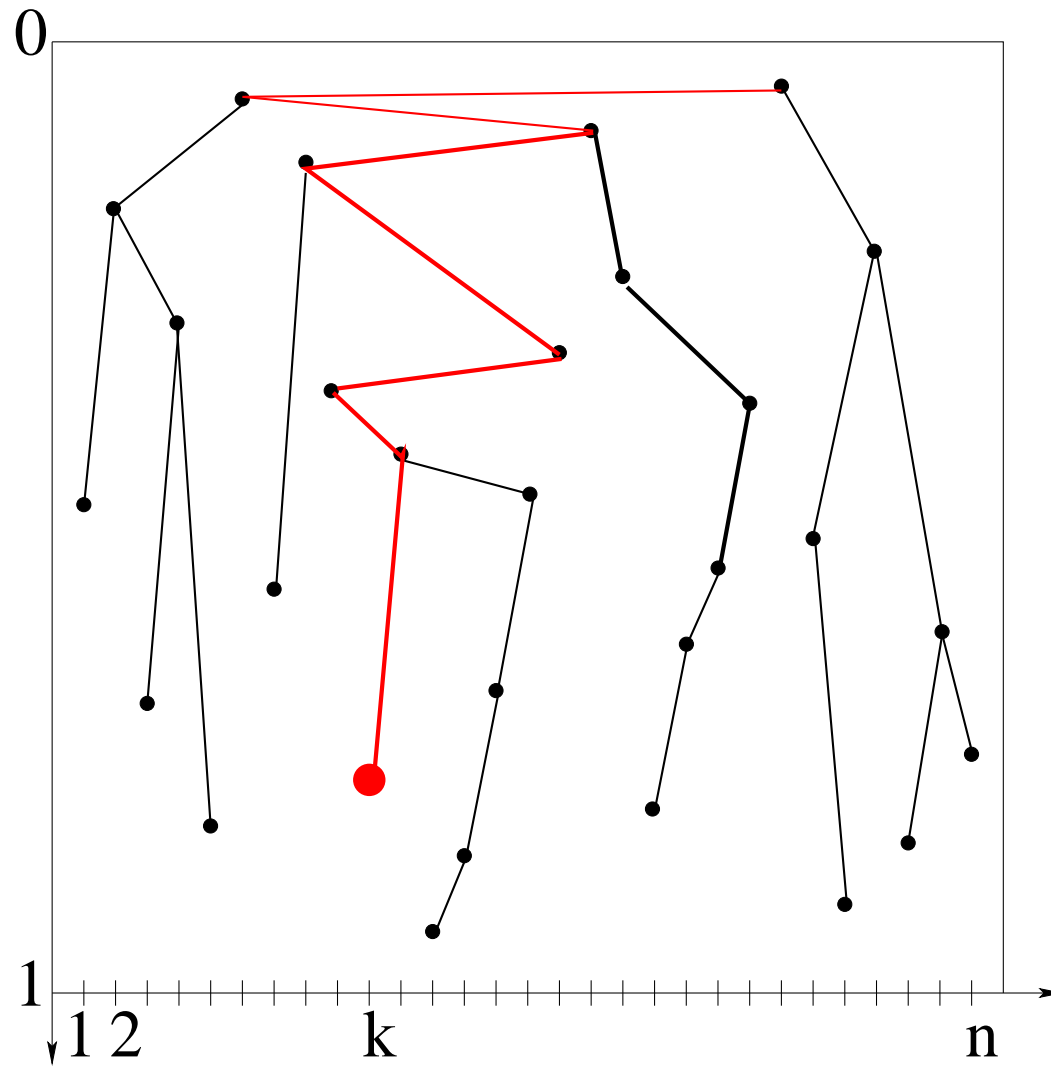
Stochastische Analyse der Tiefe D_n



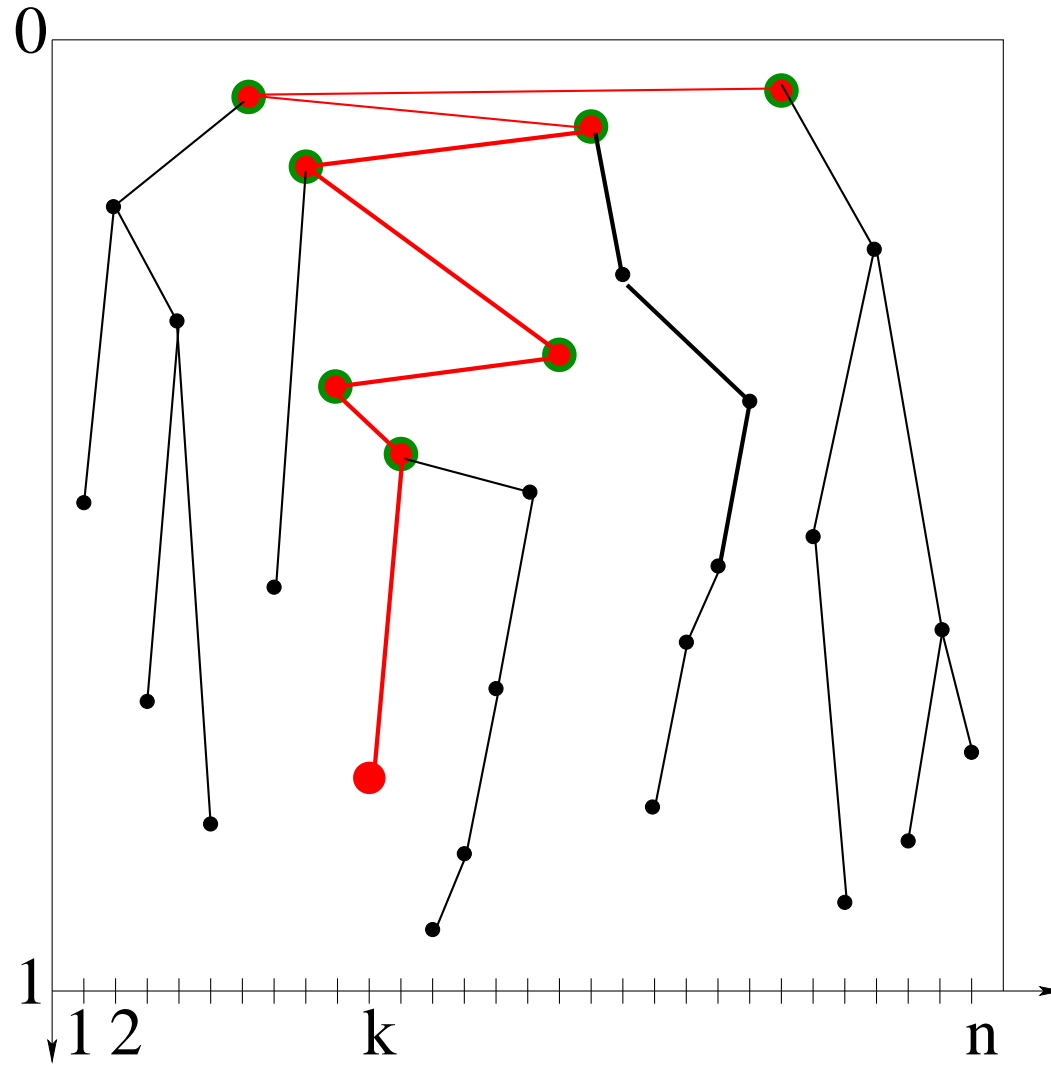
Stochastische Analyse der Tiefe D_n



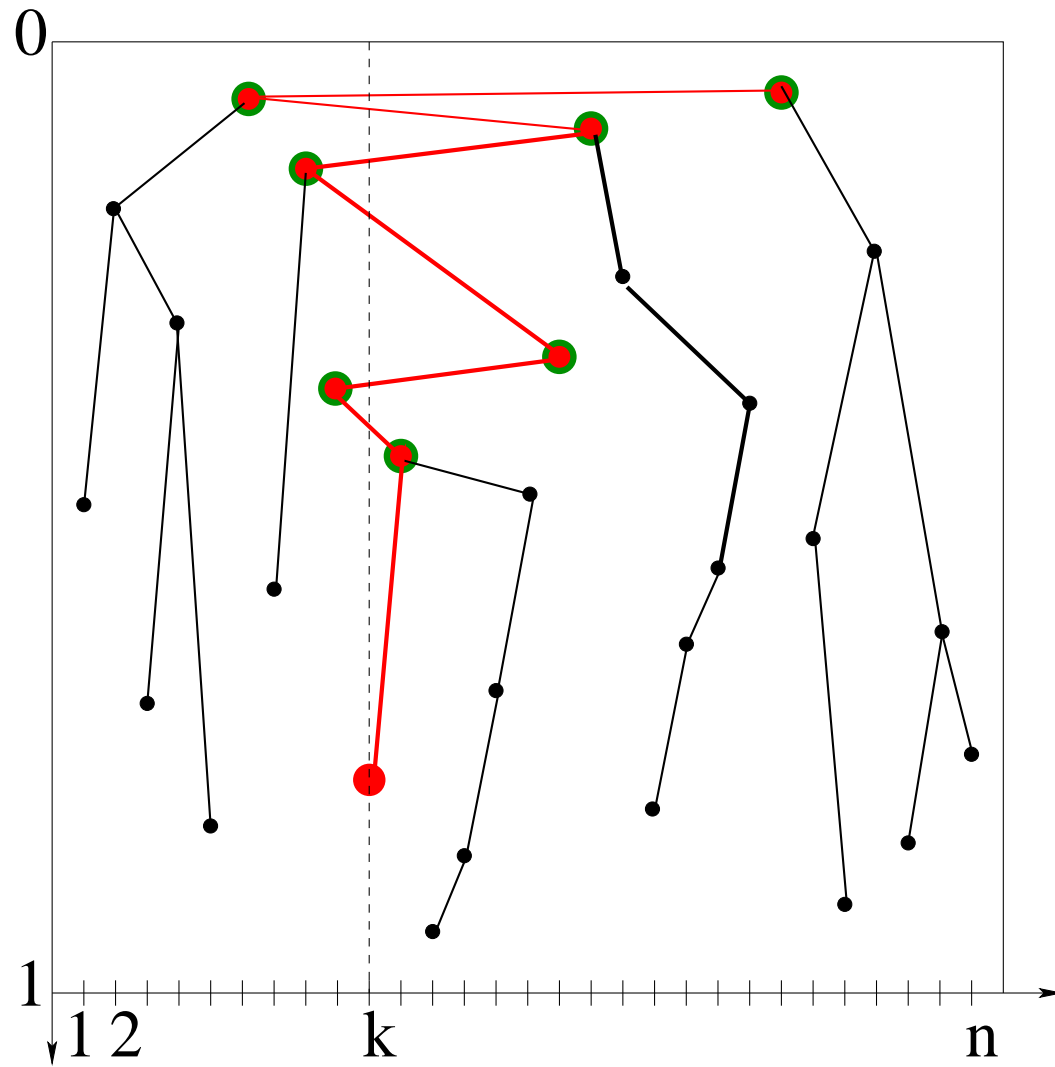
Stochastische Analyse der Tiefe D_n



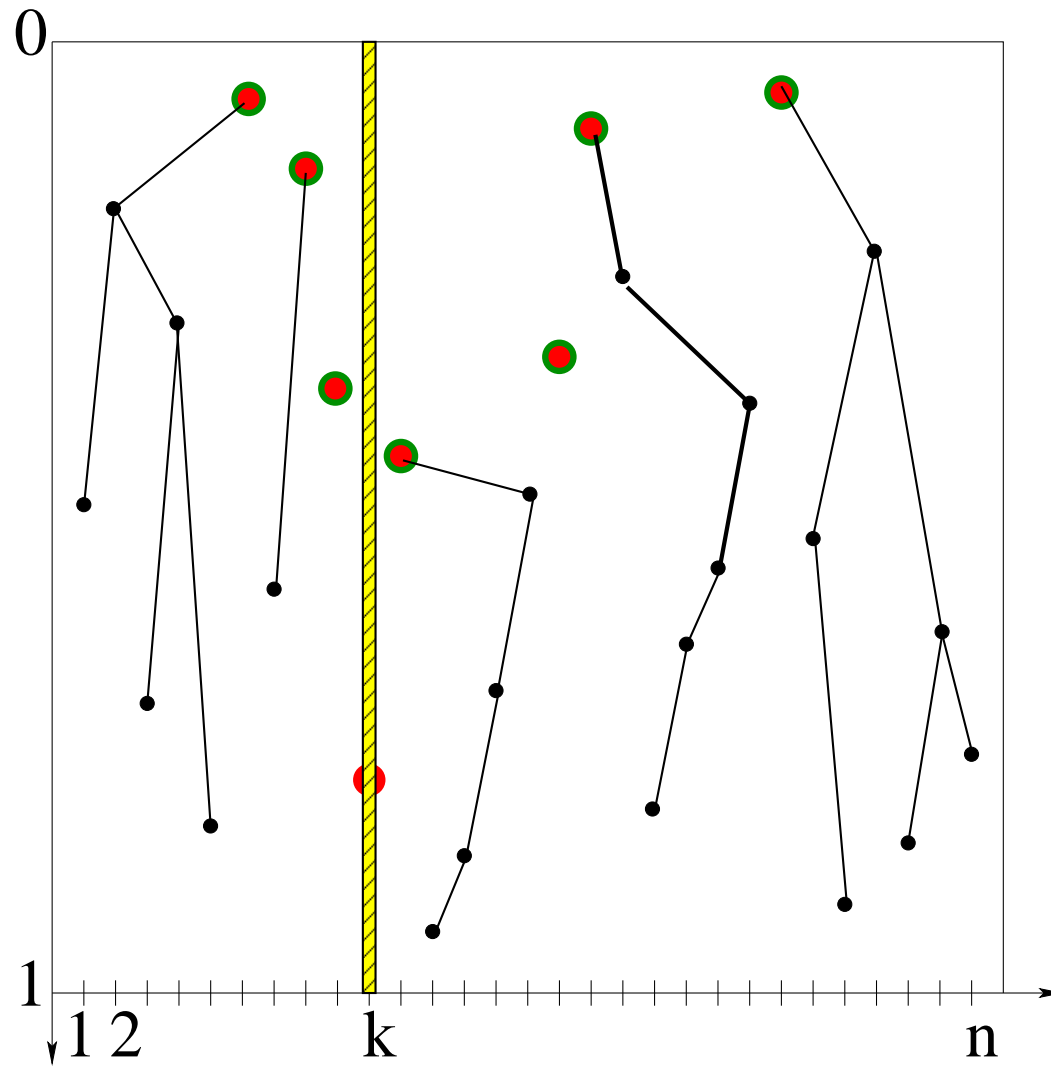
Stochastische Analyse der Tiefe D_n



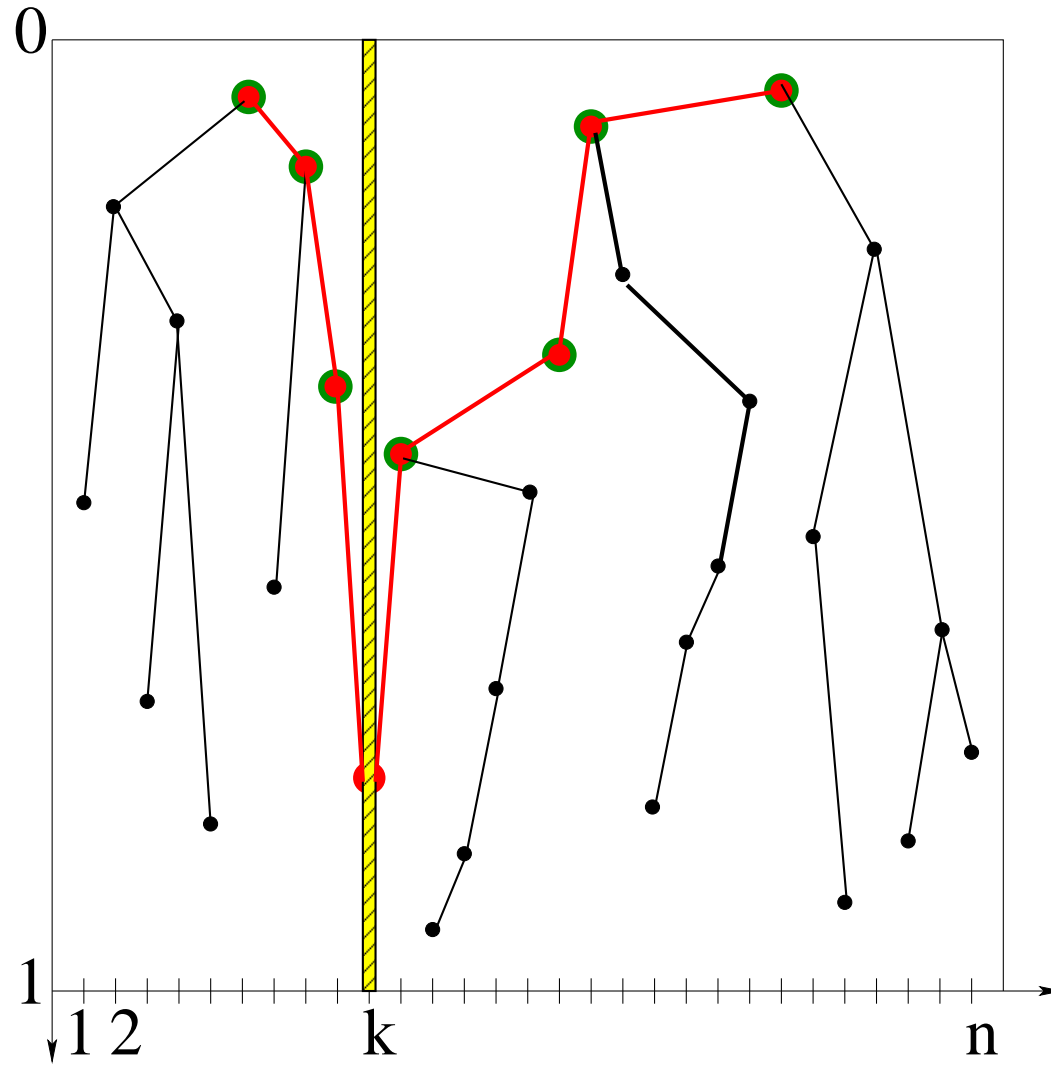
Stochastische Analyse der Tiefe D_n



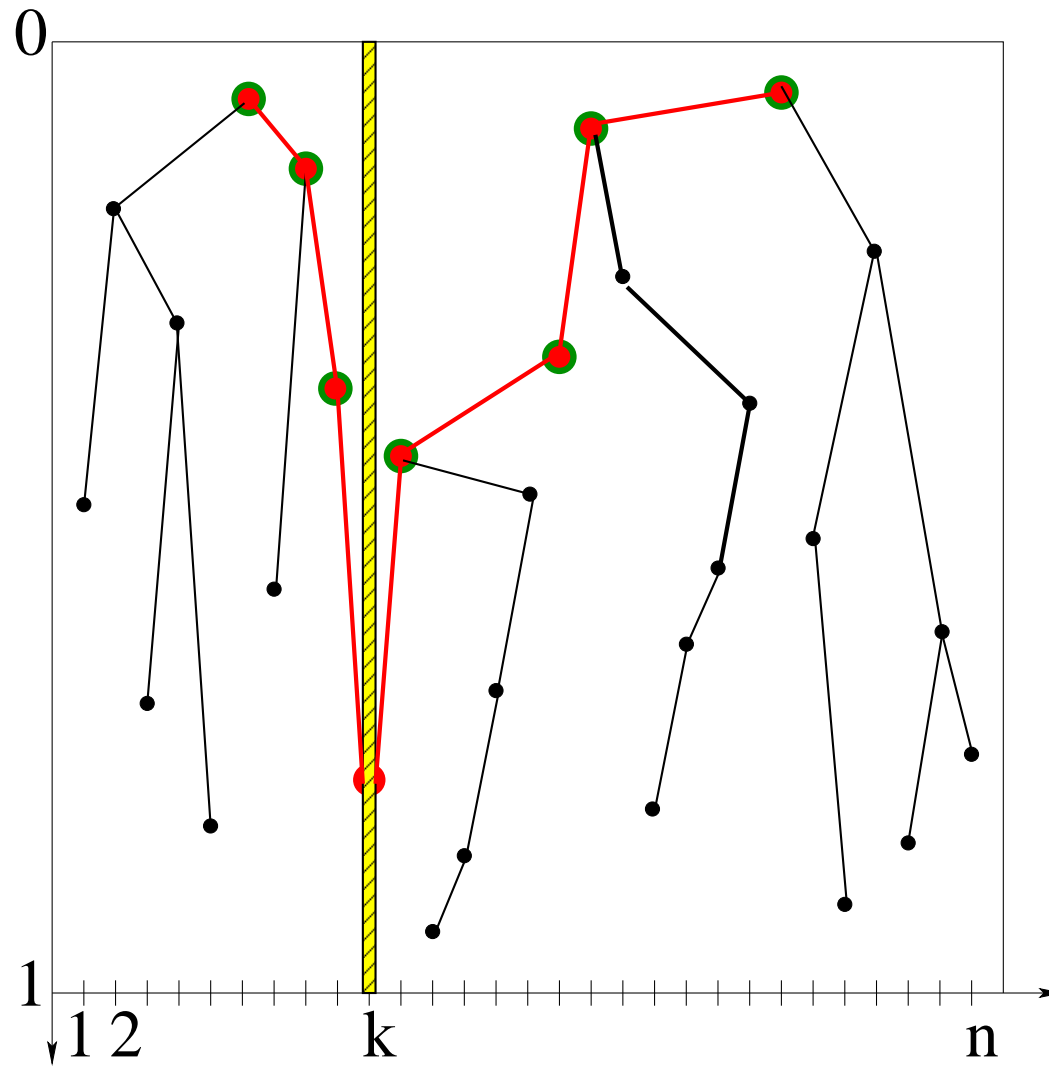
Stochastische Analyse der Tiefe D_n



Stochastische Analyse der Tiefe D_n

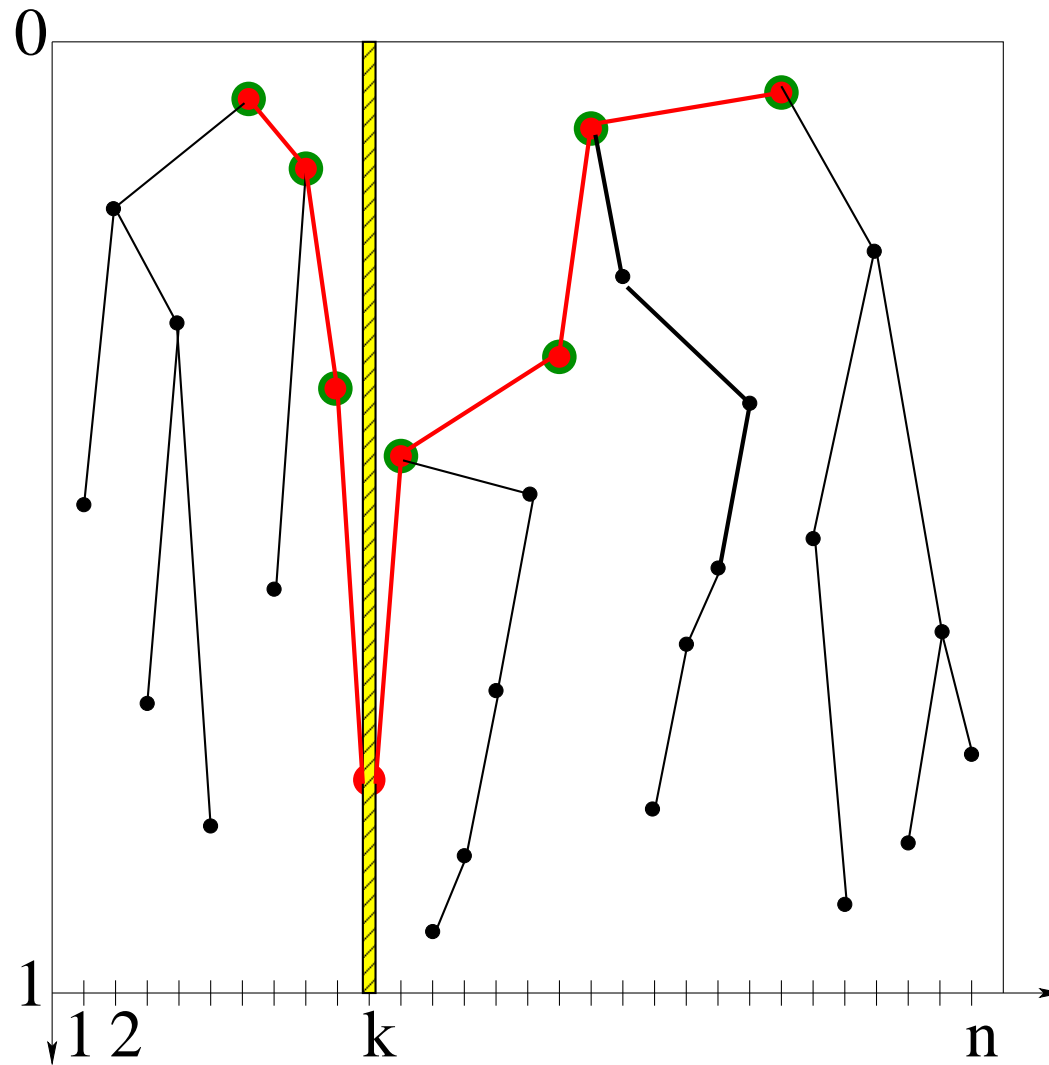


Stochastische Analyse der Tiefe D_n



Auf- bzw. Ab-Rekorde
sind unabhängig!

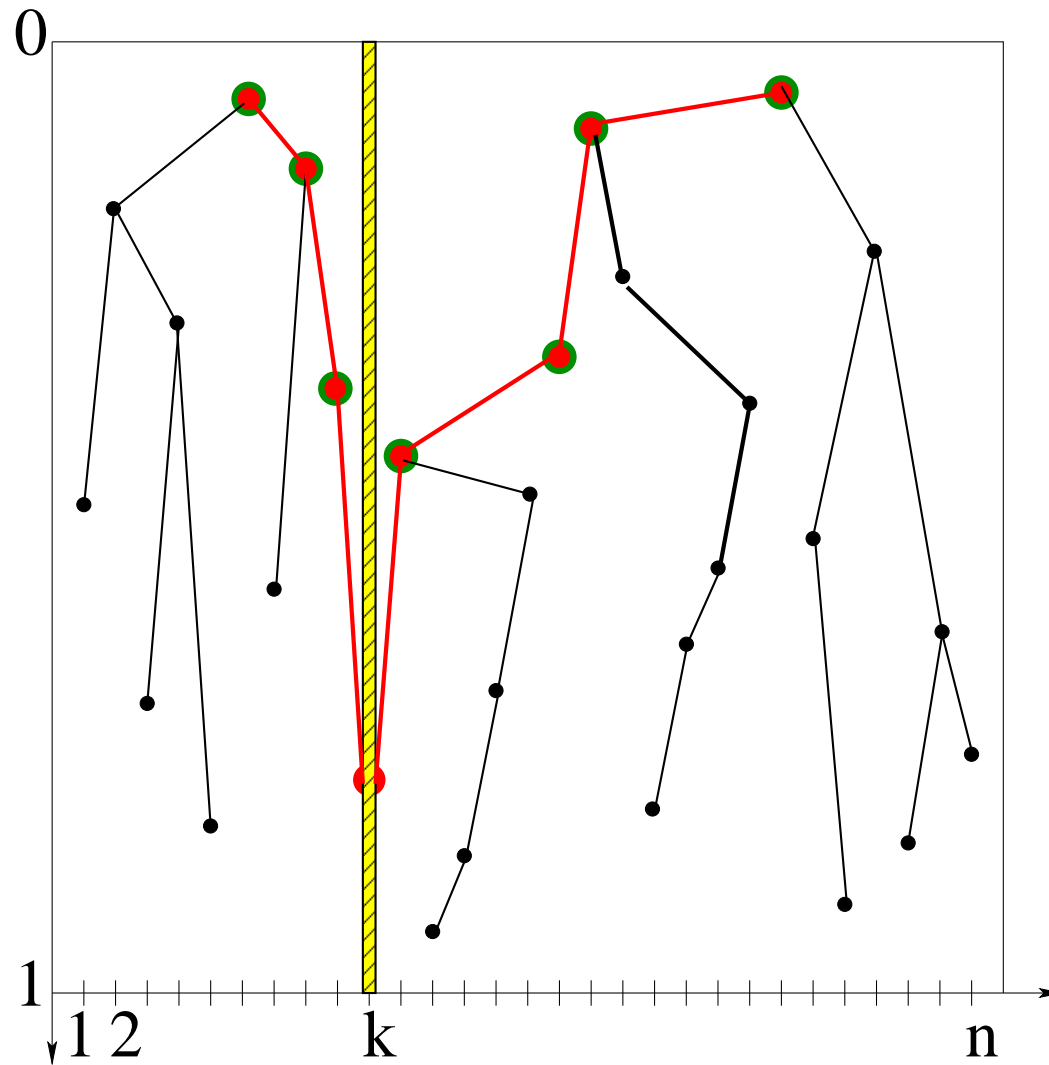
Stochastische Analyse der Tiefe D_n



Auf- bzw. Ab-Rekorde
sind unabhängig!

$$D_n \stackrel{d}{=} \sum_{j=2}^n Z_j$$

Stochastische Analyse der Tiefe D_n

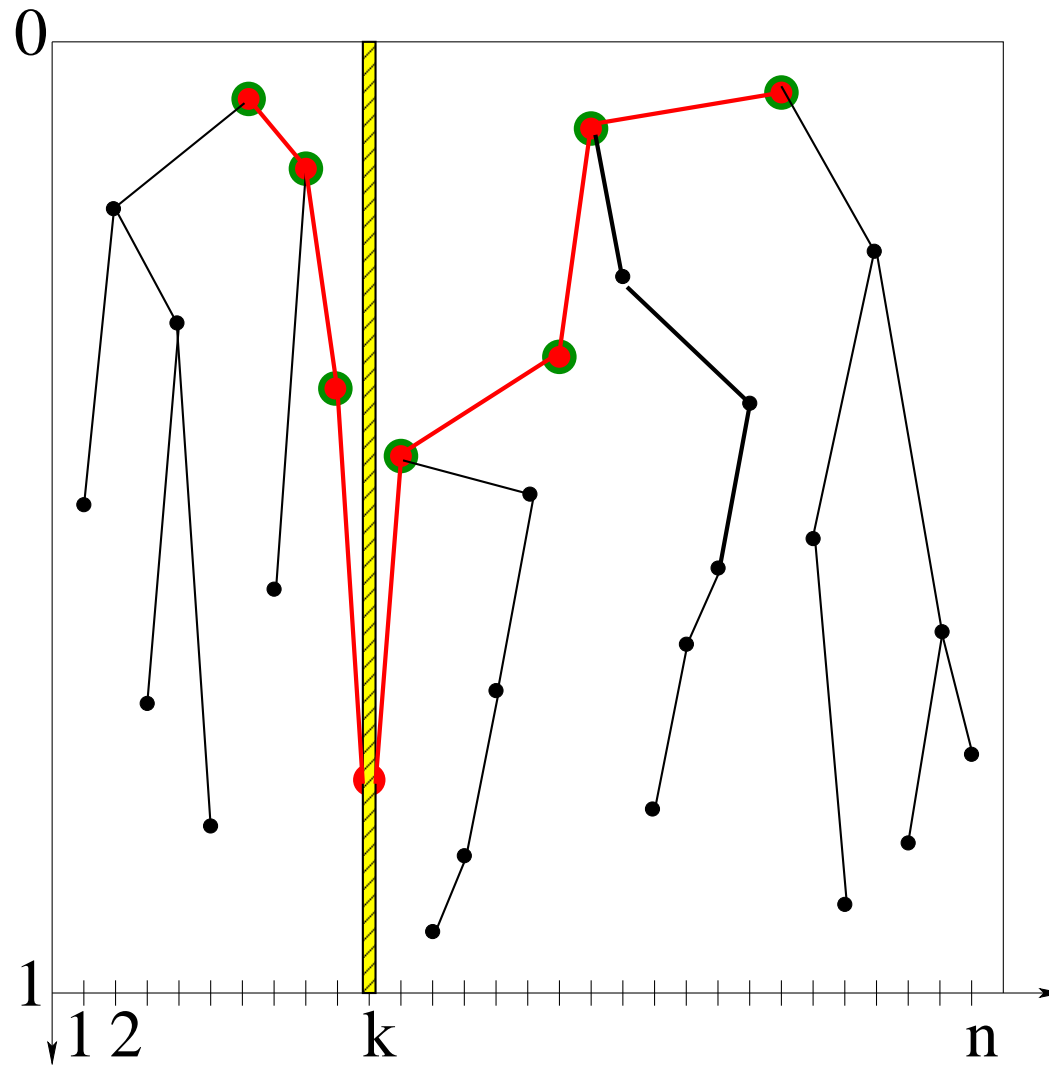


Auf- bzw. Ab-Rekorde
sind unabhängig!

$$D_n \stackrel{d}{=} \sum_{j=2}^n Z_j$$

Z_j unabhängig,

Stochastische Analyse der Tiefe D_n



Auf- bzw. Ab-Rekorde
sind unabhängig!

$$D_n \stackrel{d}{=} \sum_{j=2}^n Z_j$$

Z_j unabhängig,

$$Z_j \stackrel{d}{=} \text{Ber}(2/j).$$

Asymptotisches Verhalten der Tiefe

$$D_n \stackrel{d}{=} \sum_{j=2}^n \text{Ber}(2/j)$$

Asymptotisches Verhalten der Tiefe

$$D_n \stackrel{d}{=} \sum_{j=2}^n \text{Ber}(2/j)$$

Asymptotiken:

Asymptotisches Verhalten der Tiefe

$$D_n \stackrel{d}{=} \sum_{j=2}^n \text{Ber}(2/j)$$

Asymptotiken:

$$\mathbb{E} D_n = 2 \log n + O(1),$$

Asymptotisches Verhalten der Tiefe

$$D_n \stackrel{d}{=} \sum_{j=2}^n \text{Ber}(2/j)$$

Asymptotiken:

$$\mathbb{E} D_n = 2 \log n + O(1), \quad \text{Var}(D_n) = 2 \log n + O(1)$$

Asymptotisches Verhalten der Tiefe

$$D_n \stackrel{d}{=} \sum_{j=2}^n \text{Ber}(2/j)$$

Asymptotiken:

$$\mathbb{E} D_n = 2 \log n + O(1), \quad \text{Var}(D_n) = 2 \log n + O(1)$$

$$\varrho \left(\frac{D_n - 2 \log n}{\sqrt{2 \log n}}, \mathcal{N}(0, 1) \right)$$

Asymptotisches Verhalten der Tiefe

$$D_n \stackrel{d}{=} \sum_{j=2}^n \text{Ber}(2/j)$$

Asymptotiken:

$$\mathbb{E} D_n = 2 \log n + O(1), \quad \text{Var}(D_n) = 2 \log n + O(1)$$

$$\varrho \left(\frac{D_n - 2 \log n}{\sqrt{2 \log n}}, \mathcal{N}(0, 1) \right) = O \left(\frac{1}{\sqrt{\log n}} \right)$$

Asymptotisches Verhalten der Tiefe

$$D_n \stackrel{d}{=} \sum_{j=2}^n \text{Ber}(2/j)$$

Asymptotiken:

$$\mathbb{E} D_n = 2 \log n + O(1), \quad \text{Var}(D_n) = 2 \log n + O(1)$$

$$\varrho \left(\frac{D_n - 2 \log n}{\sqrt{2 \log n}}, \mathcal{N}(0, 1) \right) = O \left(\frac{1}{\sqrt{\log n}} \right)$$

$$d_{TV}(D_n, \Pi(\mathbb{E} D_n))$$

Asymptotisches Verhalten der Tiefe

$$D_n \stackrel{d}{=} \sum_{j=2}^n \text{Ber}(2/j)$$

Asymptotiken:

$$\mathbb{E} D_n = 2 \log n + O(1), \quad \text{Var}(D_n) = 2 \log n + O(1)$$

$$\varrho \left(\frac{D_n - 2 \log n}{\sqrt{2 \log n}}, \mathcal{N}(0, 1) \right) = O \left(\frac{1}{\sqrt{\log n}} \right)$$

$$d_{TV}(D_n, \Pi(\mathbb{E} D_n)) = O \left(\frac{1}{\log n} \right)$$

Asymptotisches Verhalten der Tiefe

$$D_n \stackrel{d}{=} \sum_{j=2}^n \text{Ber}(2/j)$$

Asymptotiken:

$$\mathbb{E} D_n = 2 \log n + O(1), \quad \text{Var}(D_n) = 2 \log n + O(1)$$

$$\varrho \left(\frac{D_n - 2 \log n}{\sqrt{2 \log n}}, \mathcal{N}(0, 1) \right) = O \left(\frac{1}{\sqrt{\log n}} \right)$$

$$d_{\text{TV}}(D_n, \Pi(\mathbb{E} D_n)) = O \left(\frac{1}{\log n} \right)$$

$$\mathbb{P}(|D_n - \mathbb{E} D_n| > \varepsilon \mathbb{E} D_n) \leq C n^{-\frac{\varepsilon^2}{2+\varepsilon}}$$

Pattern matching

Problem: Suche kurze Textabschnitte in großen Texten

Pattern matching

Problem: Suche kurze Textabschnitte in großen Texten

- Internet: Google

Pattern matching

Problem: Suche kurze Textabschnitte in großen Texten

- Internet: Google
- DNA

Pattern matching

Problem: Suche kurze Textabschnitte in großen Texten

- Internet: Google
- DNA

Großer Text: B_1, \dots, B_n (Folge von Bits)

Pattern matching

Problem: Suche kurze Textabschnitte in großen Texten

- Internet: Google
- DNA

Großer Text: B_1, \dots, B_n (Folge von Bits)

$$X_1 := 0.B_1B_2B_3B_4B_5\dots$$

Pattern matching

Problem: Suche kurze Textabschnitte in großen Texten

- Internet: Google
- DNA

Großer Text: B_1, \dots, B_n (Folge von Bits)

$$X_1 := 0.B_1B_2B_3B_4B_5\dots$$

Pattern matching

Problem: Suche kurze Textabschnitte in großen Texten

- Internet: Google
- DNA

Großer Text: B_1, \dots, B_n (Folge von Bits)

$$X_1 := 0.B_1B_2B_3B_4B_5 \dots$$

$$X_2 := 0.B_2B_3B_4B_5B_6 \dots$$

Pattern matching

Problem: Suche kurze Textabschnitte in großen Texten

- Internet: Google
- DNA

Großer Text: B_1, \dots, B_n (Folge von Bits)

$$X_1 := 0.B_1B_2B_3B_4B_5 \dots$$

$$X_2 := 0.B_2B_3B_4B_5B_6 \dots$$

$$X_3 := 0.B_3B_4B_5B_6B_7 \dots$$

Pattern matching

Problem: Suche kurze Textabschnitte in großen Texten

- Internet: Google
- DNA

Großer Text: B_1, \dots, B_n (Folge von Bits)

$$X_1 := 0.B_1B_2B_3B_4B_5 \dots$$

$$X_2 := 0.B_2B_3B_4B_5B_6 \dots$$

$$X_3 := 0.B_3B_4B_5B_6B_7 \dots$$

$$X_4 := 0.B_4B_5B_6B_7B_8 \dots$$

Pattern matching

Problem: Suche kurze Textabschnitte in großen Texten

- Internet: Google
- DNA

Großer Text: B_1, \dots, B_n (Folge von Bits)

$$X_1 := 0.B_1B_2B_3B_4B_5 \dots$$

$$X_2 := 0.B_2B_3B_4B_5B_6 \dots$$

$$X_3 := 0.B_3B_4B_5B_6B_7 \dots$$

$$X_4 := 0.B_4B_5B_6B_7B_8 \dots$$

$$X_5 := 0.B_5B_6B_7B_8B_9 \dots$$

⋮

Suffixsuchbaum

Binärsuchbaum für Folge der Suffixe X_1, X_2, \dots

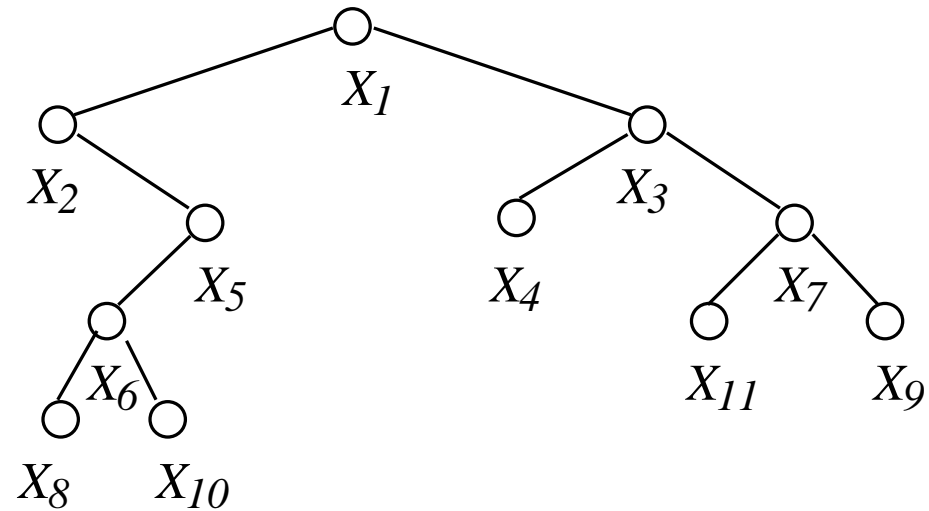
Suffixsuchbaum

Binärsuchbaum für Folge der Suffixe X_1, X_2, \dots

$0.B_1B_2B_3B_4B_5B_6B_7B_8B_9B_{10}B_{11}\dots$

Suffixsuchbaum

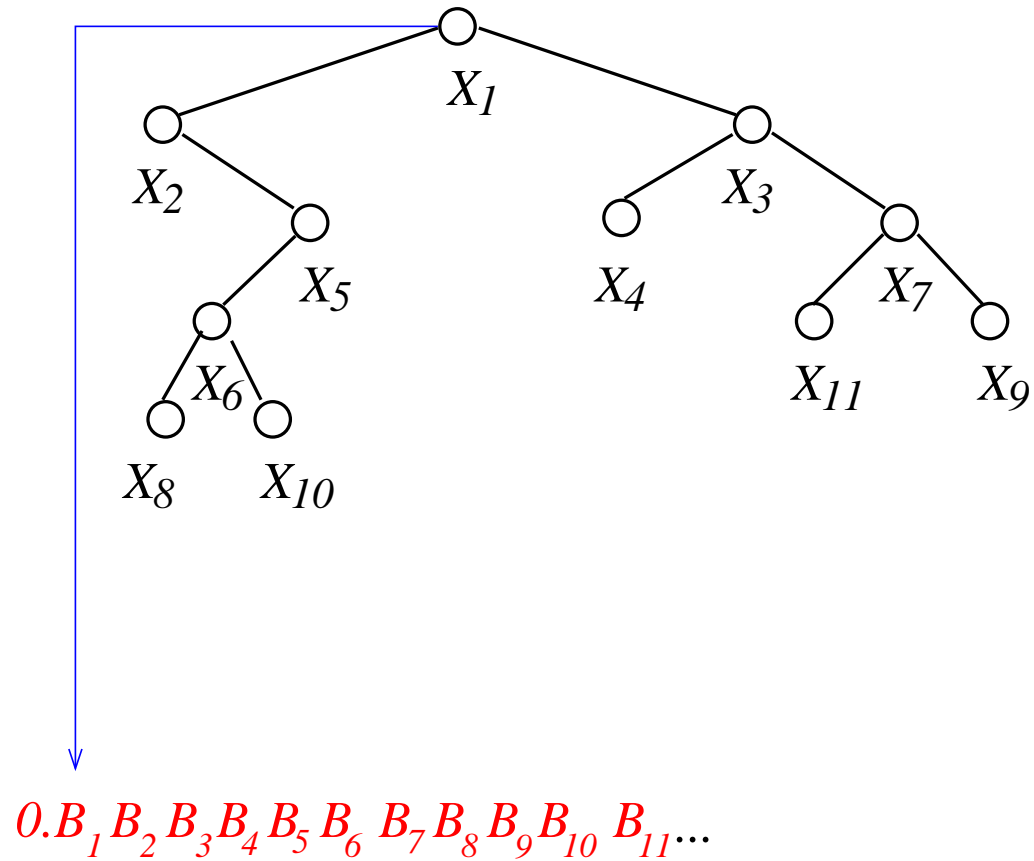
Binärsuchbaum für Folge der Suffixe X_1, X_2, \dots



0.B₁B₂B₃B₄B₅B₆B₇B₈B₉B₁₀B₁₁...

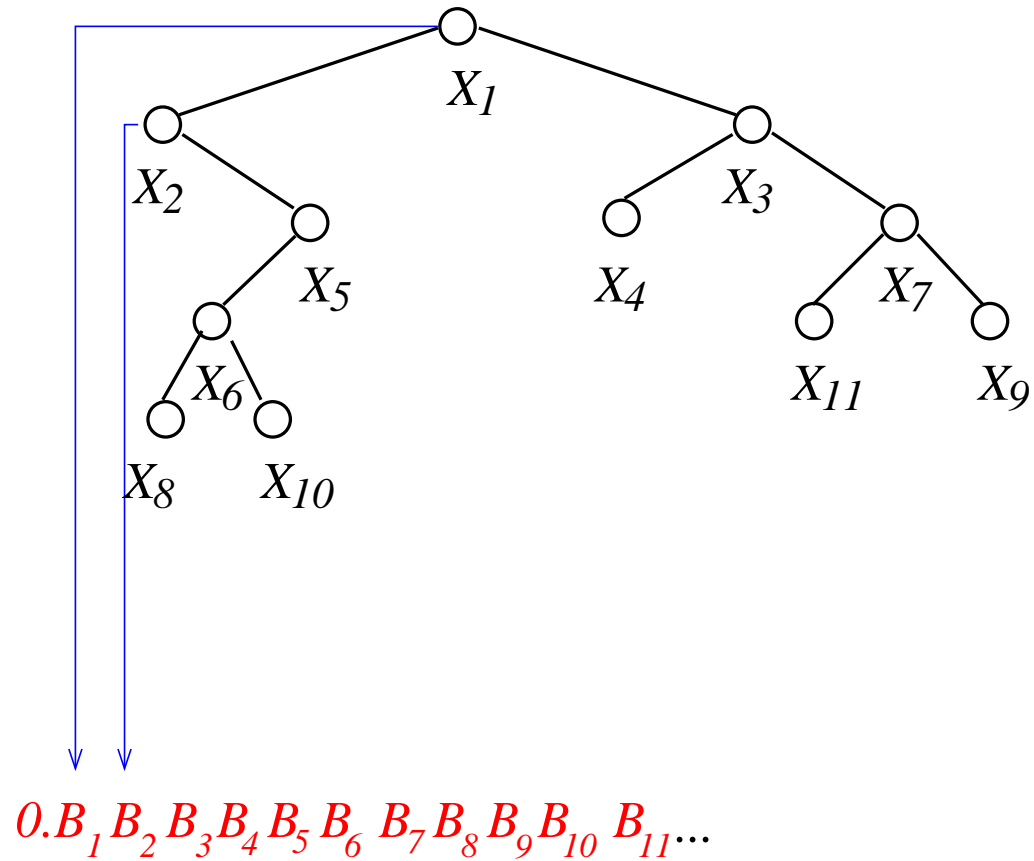
Suffixsuchbaum

Binärsuchbaum für Folge der Suffixe X_1, X_2, \dots



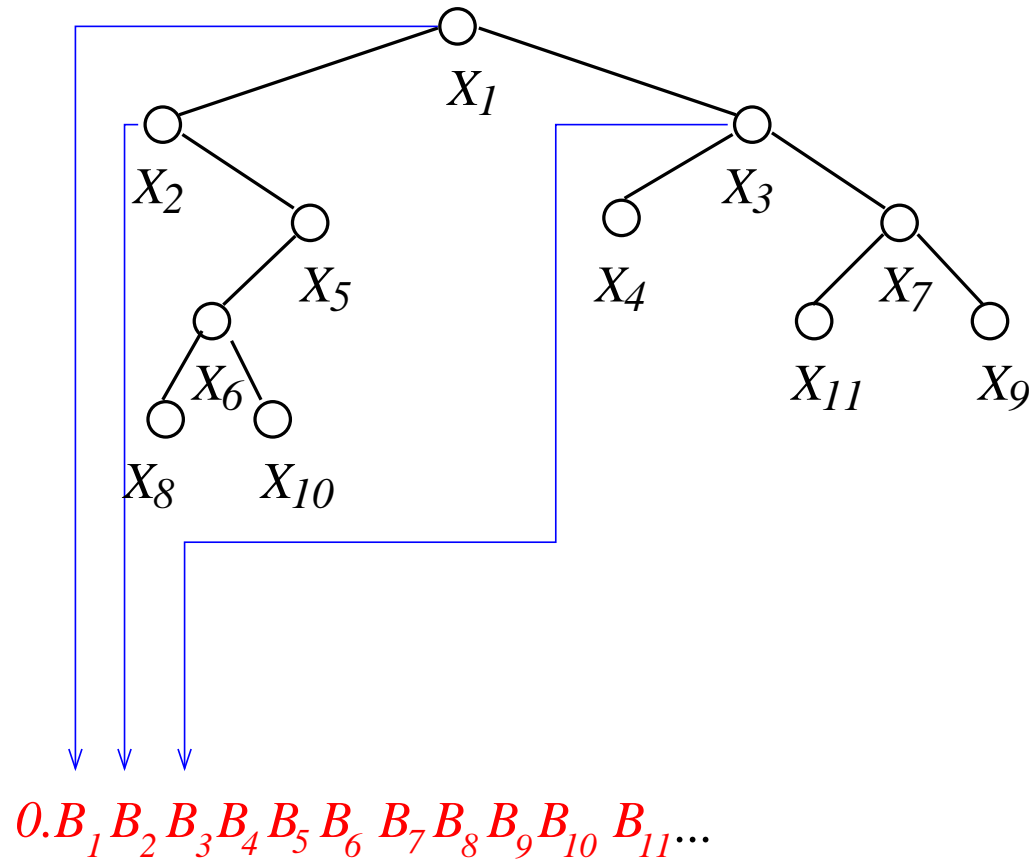
Suffixsuchbaum

Binärsuchbaum für Folge der Suffixe X_1, X_2, \dots



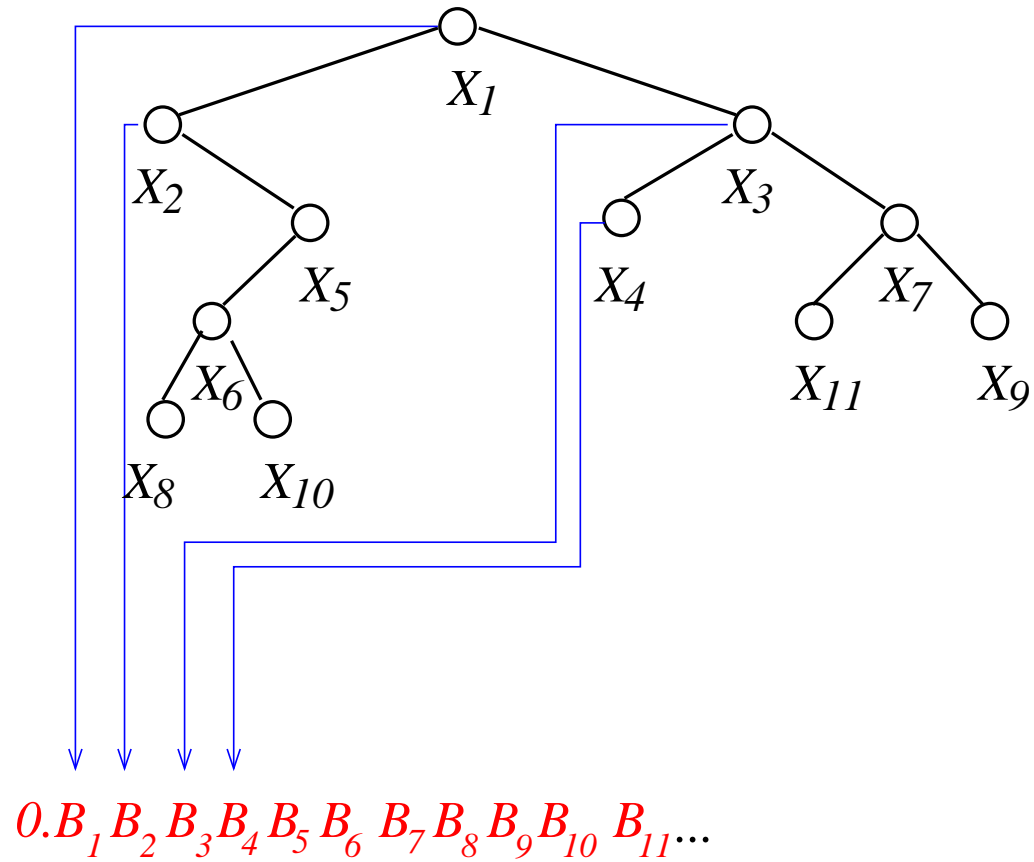
Suffixsuchbaum

Binärsuchbaum für Folge der Suffixe X_1, X_2, \dots



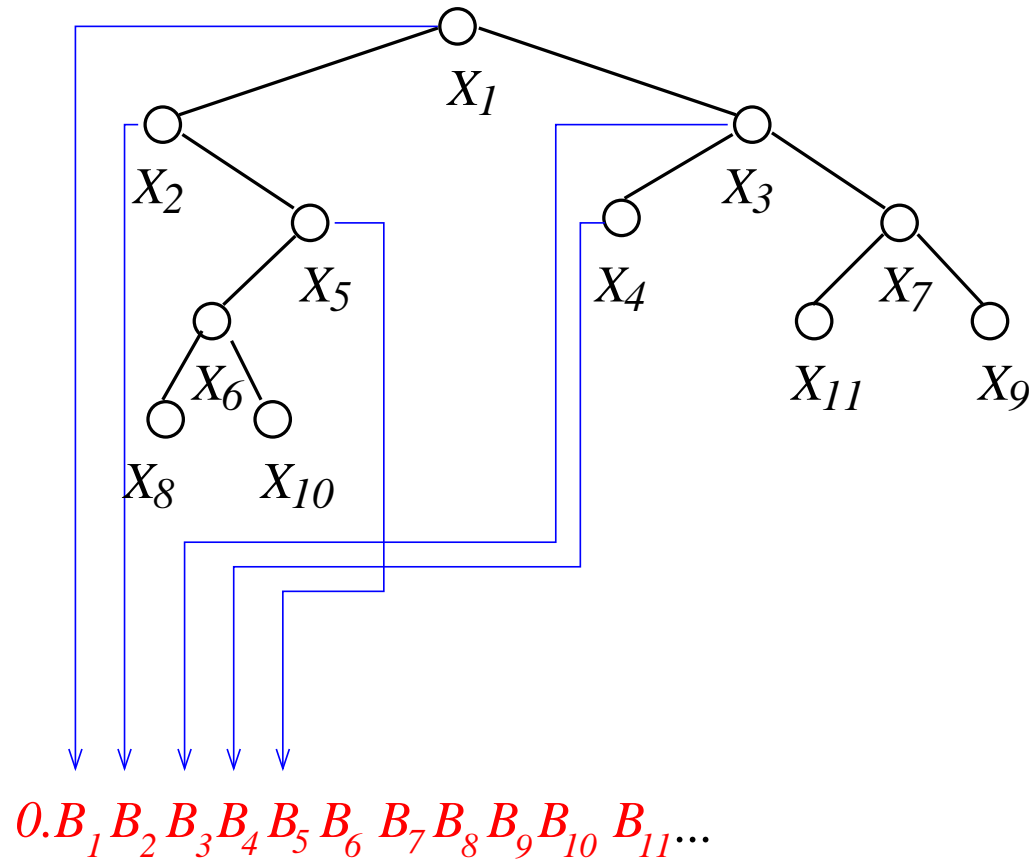
Suffixsuchbaum

Binärsuchbaum für Folge der Suffixe X_1, X_2, \dots



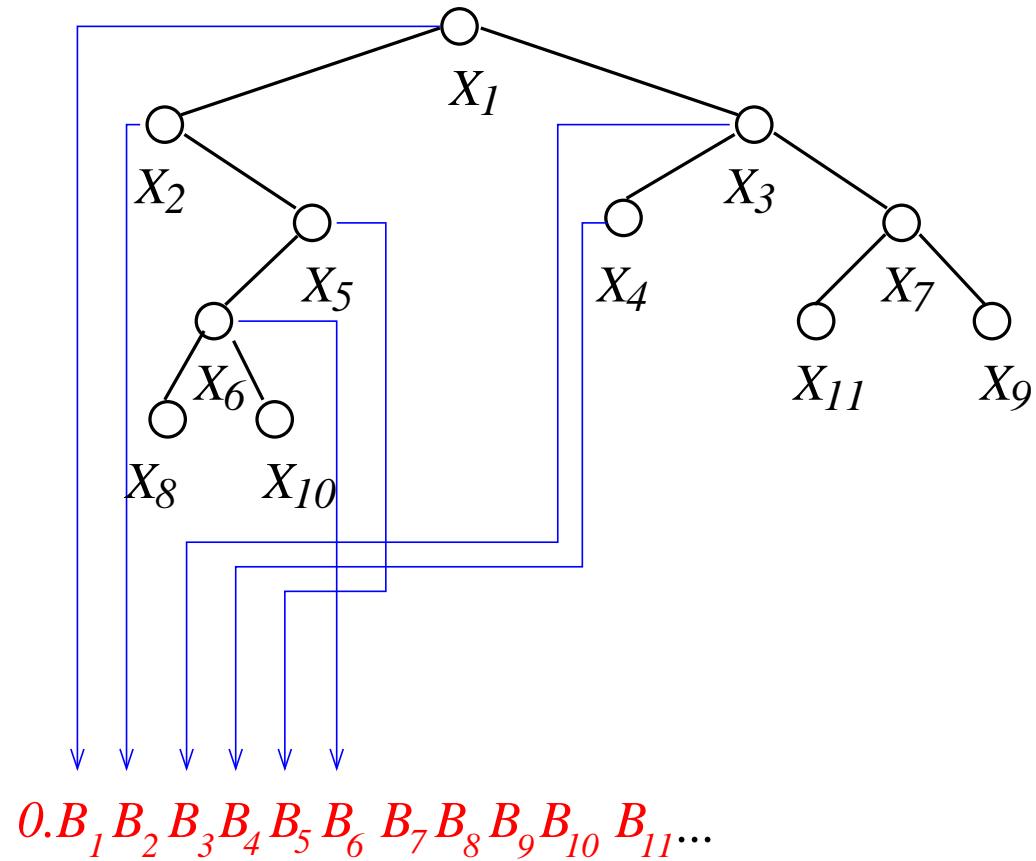
Suffixsuchbaum

Binärsuchbaum für Folge der Suffixe X_1, X_2, \dots



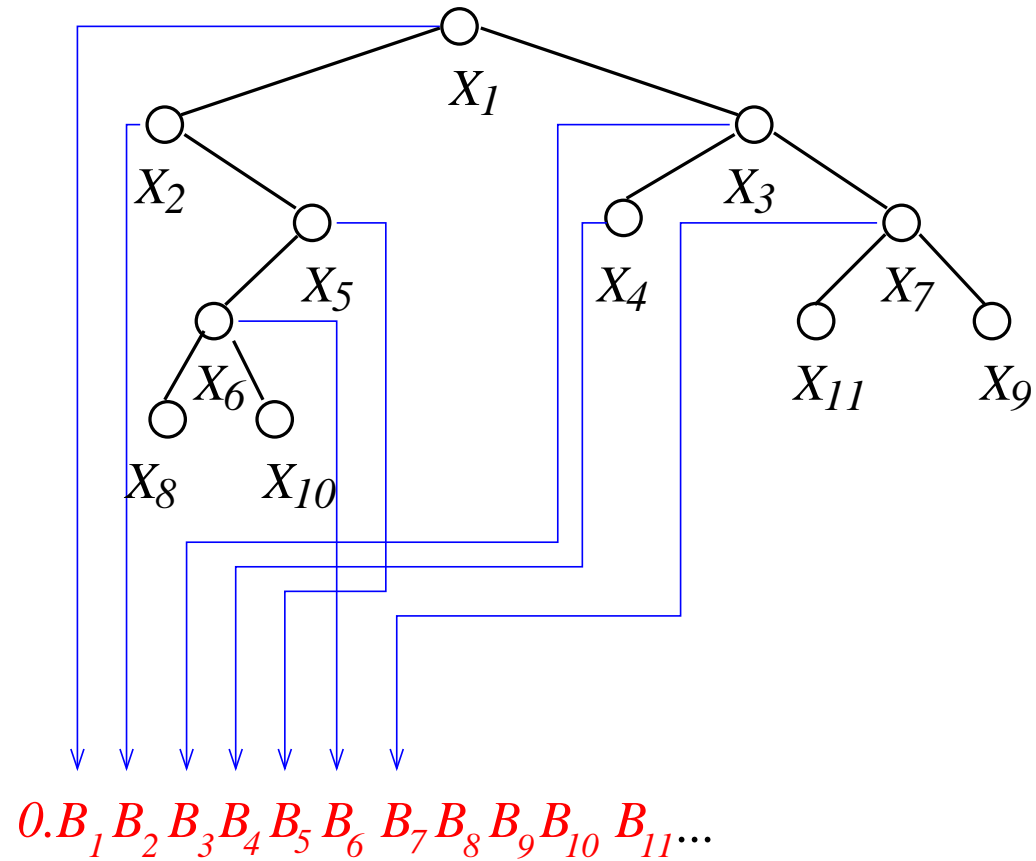
Suffixsuchbaum

Binärsuchbaum für Folge der Suffixe X_1, X_2, \dots



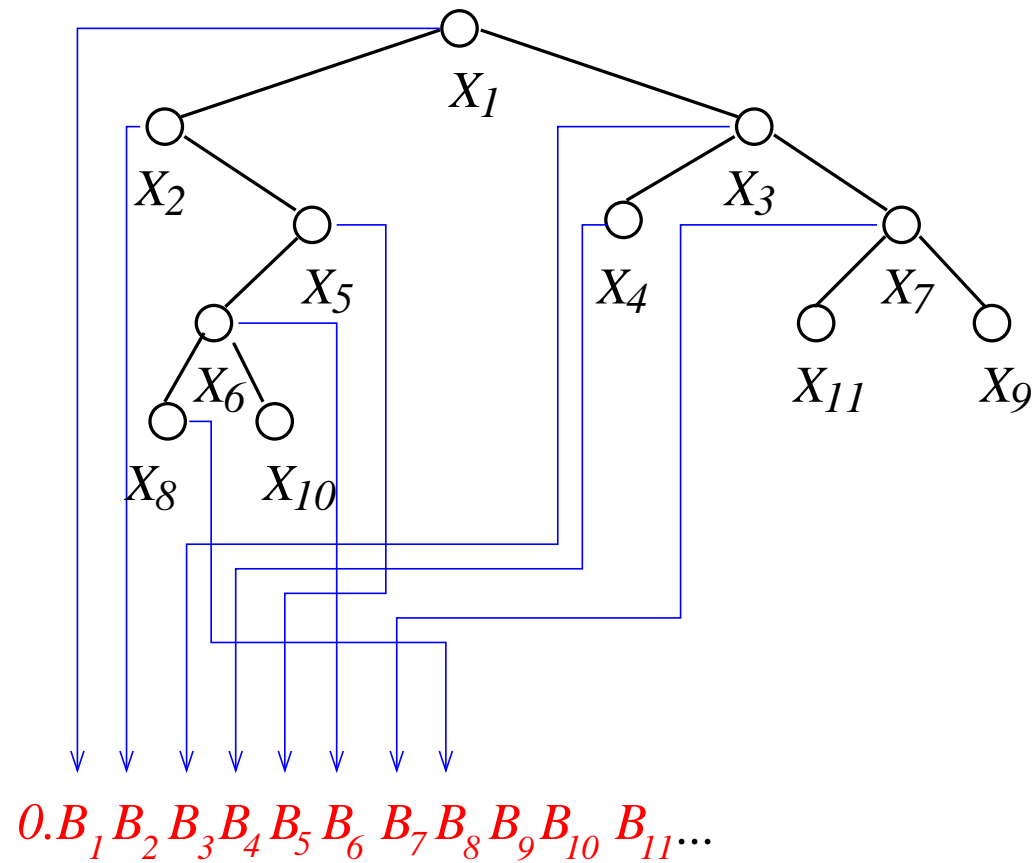
Suffixsuchbaum

Binärsuchbaum für Folge der Suffixe X_1, X_2, \dots



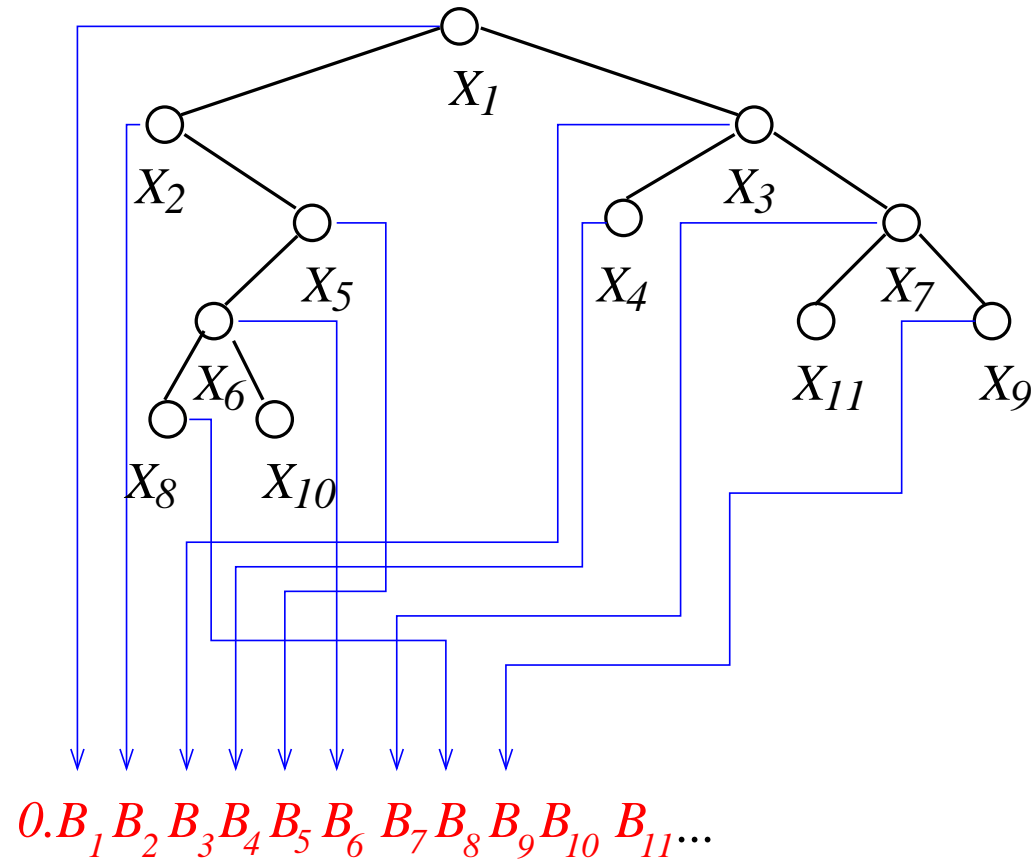
Suffixsuchbaum

Binärsuchbaum für Folge der Suffixe X_1, X_2, \dots



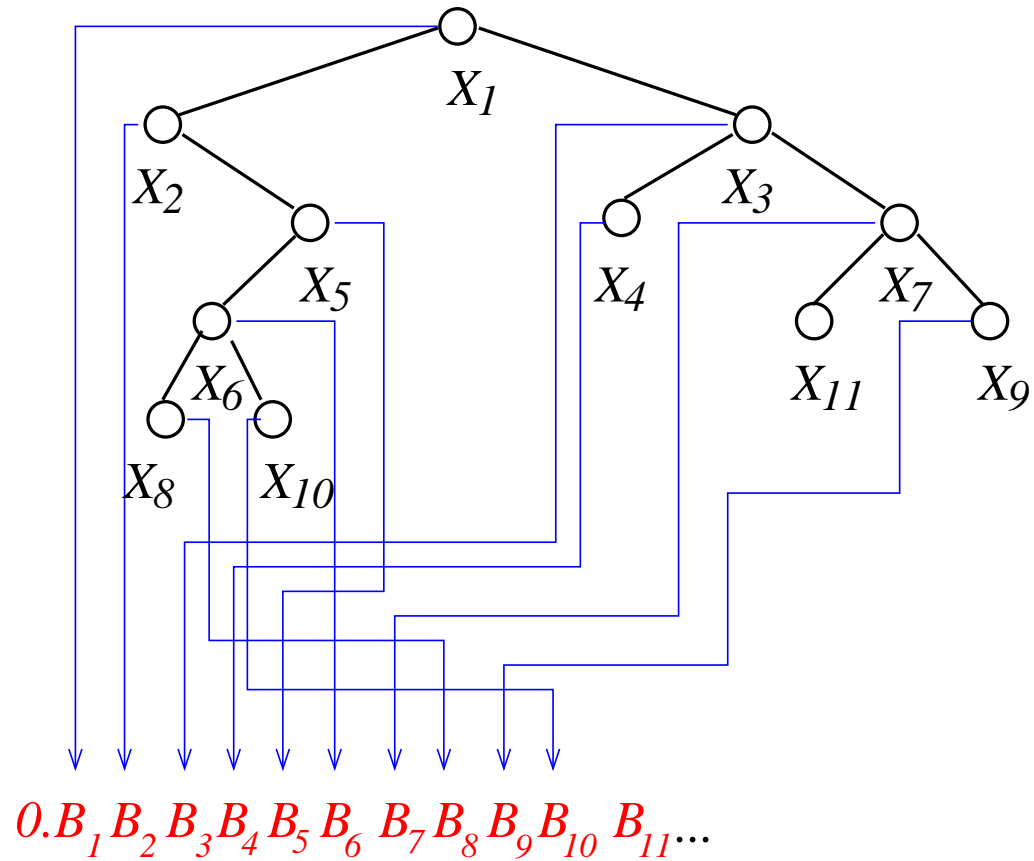
Suffixsuchbaum

Binärsuchbaum für Folge der Suffixe X_1, X_2, \dots



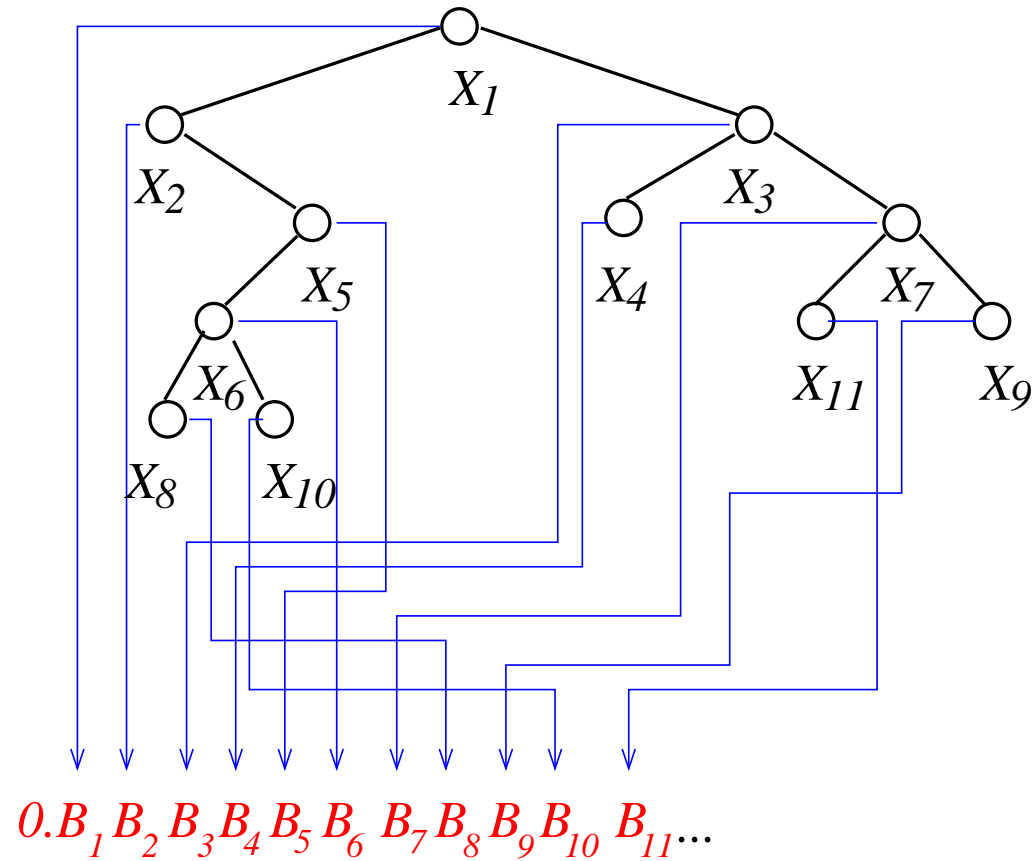
Suffixsuchbaum

Binärsuchbaum für Folge der Suffixe X_1, X_2, \dots



Suffixsuchbaum

Binärsuchbaum für Folge der Suffixe X_1, X_2, \dots



Pattern matching: Modell

Pattern matching: Modell

$$X_1 = 0.B_1B_2B_3B_4B_5 \dots$$

Pattern matching: Modell

$$X_1 = 0.B_1B_2B_3B_4B_5 \dots$$

Modell:

Pattern matching: Modell

$$X_1 = 0.B_1B_2B_3B_4B_5 \dots$$

Modell: B_1, B_2, \dots i.i.d. Bernoulli(1/2).

Pattern matching: Modell

$$X_1 = 0.B_1B_2B_3B_4B_5 \dots$$

Modell: B_1, B_2, \dots i.i.d. Bernoulli(1/2).

Äquivalente Darstellung:

Pattern matching: Modell

$$X_1 = 0.B_1B_2B_3B_4B_5 \dots$$

Modell: B_1, B_2, \dots i.i.d. Bernoulli(1/2).

Äquivalente Darstellung:

$$X_1 = U, \quad \text{mit} \quad U \stackrel{d}{=} \text{unif}[0, 1]$$

Pattern matching: Modell

$$X_1 = 0.B_1B_2B_3B_4B_5 \dots$$

Modell: B_1, B_2, \dots i.i.d. Bernoulli(1/2).

Äquivalente Darstellung:

$$X_1 = U, \quad \text{mit } U \stackrel{d}{=} \text{unif}[0, 1]$$

$$X_{n+1} = 2X_n \bmod 1, \quad n \geq 1.$$

Satz (Devroye und N.)



Satz (Devroye und N.)



Im zufälligen Suffixsuchbaum gilt für die Tiefe D_n :

Satz (Devroye und N.)



Im zufälligen Suffixsuchbaum gilt für die Tiefe D_n :

$$\mathbb{E} D_n = 2 \log n +$$

Satz (Devroye und N.)



Im zufälligen Suffixsuchbaum gilt für die Tiefe D_n :

$$\mathbb{E} D_n = 2 \log n + O(\log^2 \log n),$$

Satz (Devroye und N.)



Im zufälligen Suffixsuchbaum gilt für die Tiefe D_n :

$$\mathbb{E} D_n = 2 \log n + O(\log^2 \log n),$$

$$\frac{D_n}{\mathbb{E} D_n} \xrightarrow{\mathbb{P}} 1.$$

Asymptotisches Verhalten: Höhe

Höhe H_n :

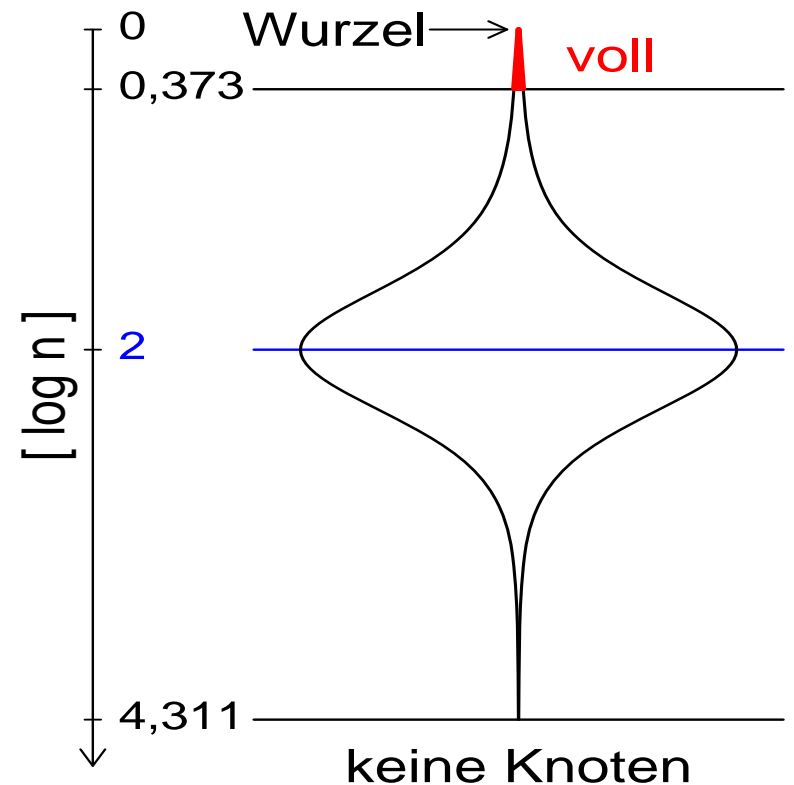
$$\mathbb{E} H_n = \alpha \log n + O(\log \log n),$$

$$\text{Var}(H_n) = O(1), \quad \frac{H_n}{\log n} \xrightarrow{\mathbb{P}} \alpha.$$

Sättigungslevel S_n :

$$\mathbb{E} S_n \sim \alpha_- \log n, \quad \text{Var}(S_n) = O(1),$$

$$\frac{S_n}{\log n} \xrightarrow{\mathbb{P}} \alpha_-$$



Asymptotisches Verhalten: Höhe

Höhe H_n :

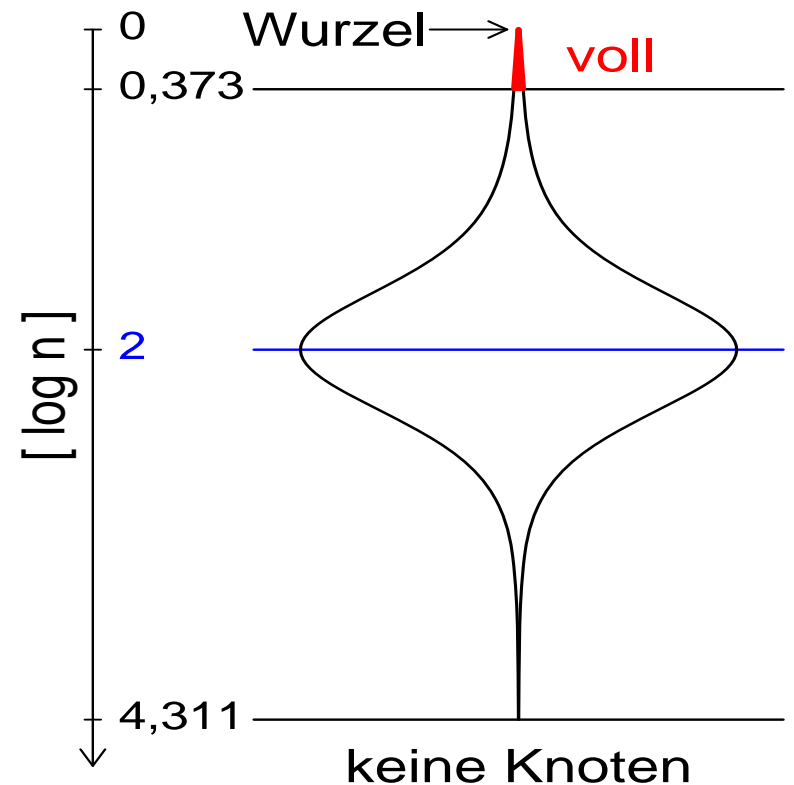
$$\mathbb{E} H_n = \alpha \log n + O(\log \log n),$$

$$\text{Var}(H_n) = O(1), \quad \frac{H_n}{\log n} \xrightarrow{\mathbb{P}} \alpha.$$

Sättigungslevel S_n :

$$\mathbb{E} S_n \sim \alpha_- \log n, \quad \text{Var}(S_n) = O(1),$$

$$\frac{S_n}{\log n} \xrightarrow{\mathbb{P}} \alpha_-$$



Dabei ist α die in $(2, \infty)$ eind. Lösung von

$$\alpha \log \left(\frac{2e}{\alpha} \right) = 1, \quad \alpha \doteq 4,311$$

Pittel ('84), Devroye ('86), Reed ('03), Drmota ('03), ...